МИНИСТЕРСТВО ОБРАЗОВАНИЯ И НАУКИ РОССИЙСКОЙ ФЕДЕРАЦИИ

федеральное государственное бюджетное образовательное учреждение высшего образования

«Тольяттинский государственный университет» Институт машиностроения

(наименование института полностью)

Кафедра «Оборудование и технологии машиностроительного производства»

(наименование кафедры)

Специальность 151001.65 «Технология машиностроения»

(код и наименование направления подготовки)

дипломный проект

на тему <u>Технологический процесс изготовления шестерни коробки скоростей</u> фрезерного станка <u>МЕСО</u>

Студент(ка)	И.П. Новак		
	(И.О. Фамилия)	(личная подпись)	
Руководитель	В.А. Гуляев		
	(И.О. Фамилия)	(личная подпись)	
Консультанты	Краснопевцева И.В.		
	(И.О. Фамилия)	(личная подпись)	
	Степаненко А.В.		
	(И.О. Фамилия)	(личная подпись)	
	Виткалов В.Г.		
	(И.О. Фамилия)	(личная подпись)	
Допустить к защите			
20-0			
Заведующий кафедрой		11.10 17	
к.т.н, доцент		Н.Ю. Логинов	
	(личная подпись)		
			• • • •
	« »		2017 г.

МИНИСТЕРСТВО ОБРАЗОВАНИЯ И НАУКИ РОССИЙСКОЙ ФЕДЕРАЦИИ

федеральное государственное бюджетное образовательное учреждение высшего образования

«Тольяттинский государственный университет» ИНСТИТУТ МАШИНОСТРОЕНИЯ

(наименование института полностью)

Кафедра «Оборудование и технологии машиностроительного производства»

(наименование кафедры)

УТВЕРЖДАЮ			
Зав. кафедрой			Н.Ю. Логинов
	«	>>	2017r.

ЗАДАНИЕ

на выполнение дипломного проекта

Специальность 151001.65 «Технология машиностроения»

Студент Новак Илья Петрович гр. ТМз-1101

- 1. Тема <u>Технологический процесс изготовления шестерни коробки скоростей фрезерного станка</u> MECOF
- 2. Срок сдачи студентом законченной выпускной квалификационной работы «<u>02</u>» <u>июня</u> 2017 г.
- 3. Исходные данные к выпускной квалификационной работе <u>годовая программа выпуска 100000</u> <u>шт в год; режим работы участка двухсменный</u>
- 4. Содержание выпускной квалификационной работы (объем 90-120 с.) Титульный лист.

Задание. Календарный план. Аннотация. Содержание.

Введение

- 1) Описание исходных данных
- 2) Технологическая часть проекта
- 3) Совершенствование операций с помощью научных исследований
- 4) Проектирование приспособления
- 5) Проектирование режущего инструмента
- 6) Проектирование средств контроля
- 7) Проектирование средств автоматизации
- 8) Безопасность и экологичность проекта
- 9) Экономическая эффективность проекта

Заключение. Список использованной литературы.

Приложения: технологическая документация

МИНИСТЕРСТВО ОБРАЗОВАНИЯ И НАУКИ РОССИЙСКОЙ ФЕДЕРАЦИИ

федеральное государственное бюджетное образовательное учреждение высшего образования

«Тольяттинский государственный университет» Институт машиностроения

(наименование института полностью)

Кафедра «Оборудование и технологии машиностроительного производства» (наименование кафедры)

УТВ	ЕРЖД <i>А</i>	ΑЮ		
Завед	ующий	кафедро	ой	
К.Т.Н.,	доцент	-		
				Н.Ю. Логинов
	(1	іодпись)		_ Н.Ю. Логинов

КАЛЕНДАРНЫЙ ПЛАН выполнения дипломного проекта

Студента <u>Новак Ильи Петровича</u> По теме <u>Технологический процесс изготовления шестерни коробки скоростей фрезерного станка MECOF</u>

Наименование раздела работы	Плановый срок выполнения раздела	выполнения выполнения		Подпись руководителя
1 Описание исходных данных	19.03.17	19.03.17	Выполнено	
2 Технологическая часть проекта	22.03.17	22.03.17	Выполнено	
3 Совершенствование операций с помощью научных исследований	01.04.17	01.04.17	Выполнено	
4 Проектирование приспособления	14.04.17	14.04.17	Выполнено	
5 Проектирование режущего инструмента	20.04.17	20.04.17	Выполнено	
6 Проектирование средств контроля	31.04.17	31.04.17	Выполнено	
7 Проектирование средств автоматизации	05.05.17	05.05.17	Выполнено	
8 Безопасность и экологичность проекта	15.05.17	15.05.17	Выполнено	
9 Экономическая эффективность проекта	20.05.17	20.05.17	Выполнено	

Руководитель выпускной		
квалификационной работы		
	(подпись)	(И.О. Фамилия)
Задание принял к исполнению		
	(подпись)	(И.О. Фамилия)

КИЦАТОННА

Дипломный проект содержит пояснительную записку, состоящую из: 97 страниц, 14 рисунков.

В данном дипломном проекте был разработан технологический процесс изготовления шестерни коробки скоростей фрезерного станка МЕСОF, была проведена модернизация продольно-фрезерного станка CS200 системы МЕСОF с числовым программным управлением с целью повышения производительности.

Продольно-фрезерный станок CS200 системы MECOF с числовым программным управлением принадлежит к тяжелым одностоечным продольно-фрезерным станкам с подвижной стойкой, в которых основные и вспомогательные движения передаются инструменту (фрезе). Это дает возможность обрабатывать крупногабаритные детали за одну установку, что позволяет значительно повысить точность обработки за счет значительного уменьшения погрешности базирования.

Для повышения производительности работы станка в дипломном проекте предлагается повысить скорость перемещения салазок за счет механизма изменения скорости салазок, который позволяет повысить скорость в 3,5 раза.

Были выполнены проектные и проверочные расчеты, расчеты на прочность и жесткость всех разрабатываемых узлов.

СОДЕРЖАНИЕ

ВВЕДЕНИЕ	6
1 Описание исходных данных	7
1.1 Назначение и описание конструкции детали	7
1.2 Анализ технологичности конструкции детали	9
1.3 Определение типа производства	10
2 Технологическая часть проекта	12
2.1 Выбор и обоснование метода получения заготовки	12
2.2 Разработка технологического процесса обработки детали	14
2.3 Определение припусков на механическую обработку детали	18
2.4 Выбор технологического станочного оборудования	25
2.5 Нормирование технологических операций	26
3 Совершенствование операций с помощью научных исследований	29
4 Проектирование приспособления	38
5 Проектирование режущего инструмента	50
6 Проектирование средств контроля	59
7 Проектирование средств автоматизации	62
8 Безопасность и экологичность проекта	70
9 Экономическая эффективность проекта	78
ЗАКЛЮЧЕНИЕ	82
СПИСОК ИСПОЛЬЗОВАННОЙ ЛИТЕРАТУРЫ	83
ПРИЛОЖЕНИЕ А	86
ПРИЛОЖЕНИЕ Б	95

ВВЕДЕНИЕ

В условиях высоких темпов научно-технического И социальноэкономического прогресса развития производства, его эффективность зависит умения коллективов предприятия мобилизировать не только OTвнутренние резервы. Наибольшее влияние на его развитие оказывает то, как на предприятиях внедряются последние достижения науки И техники, прогрессивные формы организации и управления, передовые методы труда. Иными словами, научная организация производства сегодня – наиболее надёжный инструмент подъёма экономики, быстрого роста производительности труда и повышения эффективности общественного производства.

В условиях рыночной экономики перед отечественным машиностроением стоят задачи увеличения выпуска продукции, повышение производительности труда, повышение технологического уровня и качества, снижение себестоимости продукции. Добиться решения поставленных задач можно только на базе ускорения научно- технического прогресса.

Основу технологической подготовки производства составляет разработка рационального технологического процесса, который позволяет выпускать изделия заданного количества, заданного качества в установленные сроки с наименьшими затратами.

1 Описание исходных данных

1.1 Назначение и описание конструкции детали

Представленная на дипломное проектирование деталь является сборочной единицей коробки скоростей фрезерного станка.

Шестерня предназначена для передачи крутящего момента с 1-го вала на 2-ой вал коробки скоростей.

Шестерня является деталью типа зубчатое колесо с внешним диаметром 147 мм и ширине ступицы 85 мм и центральным отверстием φ 100 мм. Зубчатый венец имеет модуль m=3.5 при числе зубьев Z=40. В центральном отверстии шестерни выполнено две проточки с двух сторон 3, 16.

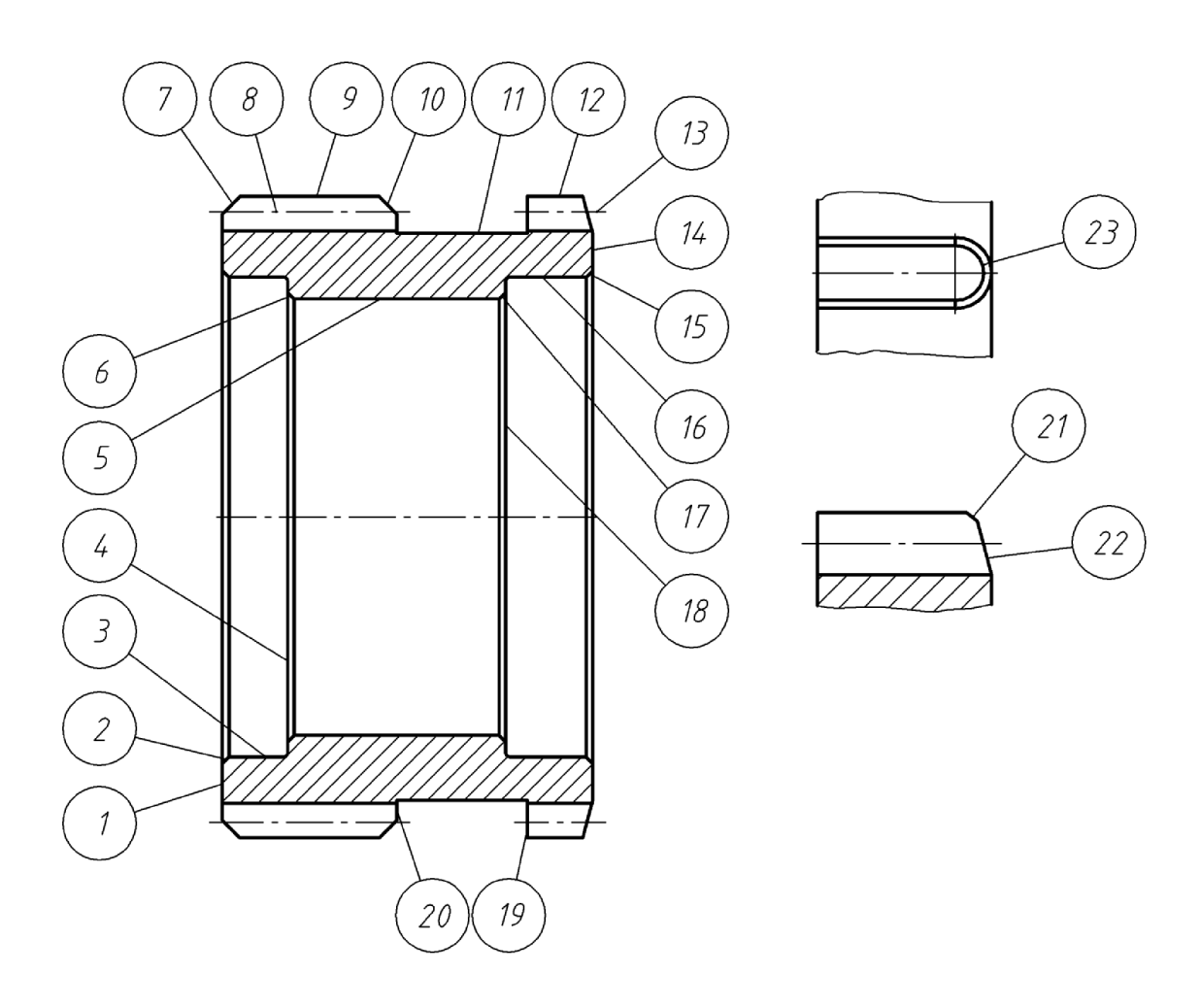


Рисунок 1.1 – Шестерня, эскиз обрабатываемых поверхностей

Данные проточки необходимы для базирования в них подшипников качения, по которым деталь базируется в сборочном узле. Зубья правого зубчатого венца имеют закругление, необходимое для плавного входа в контакт с муфтой переключения передач коробки скоростей.

Проточки в центральном отверстии 3, 16 являются наиболее точными поверхностями детали, обрабатываются по квалитету IT7 с параметром шероховатости по Ra = 1,25 мкм.

Также к точным и ответственных поверхностей детали относятся торцы 4, 17, обрабатываются по квалитету IT 11 с параметром шероховатости Ra = 1,25 мкм. Также к точным поверхностям следует отнести боковые поверхности зубов левого зубчатого венца, обрабатываемых по 7 степени точности и с параметром шероховатости Ra = 1,25 мкм, правого зубчатого венца по 8 ступени точности с параметром шероховатости по Ra = 3,2. К дополнительным поверхностям детали относятся торцевые поверхности 1, 14, а также цилиндрические участки зубчатого венца 9, 12.

К второстепенным поверхностям относятся галтели и фаски.

К основной конструкторской базе относятся поверхности 3, 16, изображенные на рисунке 1.1

К основным технологическим базам относится поверхность 5 центрального отверстия, а также торцевые поверхности 1 и 14. Также на операции обрабатывающей обработки как технологическая база используются боковые поверхности зубьев пов.8.

К основным измерительным базам относятся поверхности 3, 16.

1.1.1 Анализ выбора материала детали

В связи с тяжелыми условиями работы детали изготавливают из качественной конструкционной легированной стали 40Х ГОСТ 4543-81.

Температура ковки: в начале процесса 1250, в конце 860-800.

Обрабатываемость резанием : после закалки и отпуска при HB <241, $K_{\text{тв.спл.}} = 0.75, \ K_{\text{б.ст.}} = 0.65.$

1.2 Анализ технологичности конструкции детали

Коэффициент унификации конструктивных элементов определим по формуле (1.1):

$$k_{y_{9}} = \frac{Q_{y_{9}}}{Q_{3}} \tag{1.1}$$

Конструктивные элементы детали приведены в таблице 1.3

Таблица 1.3- Конструктивные элементы детали

	Наименование	$Q_{y,9}$ - количество унифицированных элементов Q_9 - общее количество элементов в детали					
	изделия	фаски	галтели	зубья	шлицы	пазы	всего
1	Шостория	7	2	2	0	0	11
	Шестерня	7	2	2	0	0	11

$$k_{y9} = \frac{11}{11} = 1$$

Коэффициент применяемости стандартных обрабатываемых поверхностей определим по формуле (1.2):

$$K_{n.cm} = \frac{\mathcal{I}_{o.c}}{\mathcal{I}_{M.o}} \tag{1.2}$$

$$K_{n.cm} = \frac{23}{23} = 1$$

Коэффициент обрабатываемой поверхности определим по формуле (1.3):

$$K_{n.o6} = 1 - \frac{\mathcal{I}_{M.o}}{\mathcal{I}_{2}} \tag{1.3}$$

$$K_{n.o6} = 1 - \frac{23}{23} = 0$$

Коэффициент использования материала определим по формуле (1.4):

$$K_{uu} = \frac{g}{O} \tag{1.4}$$

где g = 1,96 кг - масса детали, Q = 3,9 кг - масса заготовки.

$$K_{um} = \frac{1.96}{3.9} = 0.50$$

Вывод: деталь технологична.

1.3 Определение типа производства

На начальных этапах проектирования тип производства можно ориентировочно определить в зависимости от программы выпуска и массы изделий, изготавливаемых основываясь по свидетельство таблицы [4].

Программа выпуска деталей в год: $N_r = 100000$

Масса детали шестерня - 1,96 кг

Тип производства - крупносерийный.

Далее, исходя из данных полученных в пункте, проводим уточненный расчет типа производства. По ГОСТ 3.1119.83 тип производства характеризуется коэффициентом закрепления операций (K_{30}): $K_{30} = 1$ - массовое; $1 < K_{30} < 10$ - крупносерийное;

 $10 < K_{30} < 20$ - среднесерийное; $20 < K_{30} < 40$ - мелкосерийное.

1.Определим коэффициент закрепления операций по формуле (1.5):

$$K_{30} = \frac{\tau}{T_{um}} \tag{1.5}$$

где τ - такт выпуска мин

 T_{um} - среднее штучное время, мин;

Период времени между выпуском отдельных деталей или изделий называют тактом. Он рассчитывается по формуле (1.6):

$$\tau = \frac{T_o}{N_s} \tag{1.6}$$

где $T_{\scriptscriptstyle \rm I}$ - действительный фонд времени работы поточной линии в год, в часах;

 $H_{\scriptscriptstyle \Gamma}$ - годовая программа выпуска деталей, $100000~{\rm mt}$.

$$\tau = \frac{60 \cdot 3590.4}{100000} = 6.03$$

Среднее штучное время определим по формуле (2.6):

$$T_{um} = \frac{\Sigma T_{um}}{n} \tag{1.7}$$

где n - число операций - 10

ΣТшт=69,80 мин.

$$T_{um} = \frac{69,80}{10} = 6,98$$
мин

$$K_{3.0} = \frac{6,03}{6.98} = 0,86$$

 K_{30} = 0,86, отсюда следует, что тип производства - крупносерийный

2 Технологическая часть проекта

2.1 Выбор и обоснование метода получения заготовки

В крупносерийном производстве получить заготовку таким методом возможно для данной детали двумя конкурирующими способами.

- 1. Штамповка на кривошипно-горячештамповочных прессах (КГШП).
- 2. Штамповка на горизонтально-ковочных машинах (ГКМ).

Стоимость заготовки получаемой штамповкой на ГКМ можно определить по формуле (2.1):

$$S_{3az} = (Ci/1000 \cdot Q \cdot K_T \cdot K_C \cdot K_\beta \cdot K_M \cdot K_\Pi) - (Q - g) \cdot S_{omx}/1000$$
 (2.1)

Таблица 2.1- Выбор метода получения заготовки

N	Показатели	Штамповка на КГШП	Штамповка на ГКМ
1	Вид заготовки	Поковка	Поковка
2	Класс точности	T1	T1
3	Группа сложности	1	1
4	Масса заготовки, кг	3,9	4,3
5	Стоимость 1т заготовок, руб.	3800	3600
6	Стоимость 1т отходов, руб.	280	280

Q - масса заготовки, рассчитывается по формуле (2.2):

$$Q = K_p \cdot g \tag{2.2}$$

где K_p - коэффициент - 2,0- 2,2 [3].

Масса заготовки получаемой на КГШП

$$Q = 2 \cdot 1.96 = 3.92 \kappa z$$

Масса заготовки получаемой на ГКМ

$$Q = 2.2 \cdot 1.96 = 4.3 \kappa z$$

 $S_{\text{отх}}$ - цена 1тонны отходов = 290,0 руб.

Стоимость заготовки на КГШП, руб.

$$S_{3ac} = (\frac{3800}{1000} \cdot 3.9 \cdot 1 \cdot 0.87 \cdot 1 \cdot 1.13 \cdot 1) - (3.90 - 1.96) \cdot \frac{280}{1000} = 14.03 \text{ py}$$

Стоимость заготовки на ГКМ, руб.

$$S_{3az} = (\frac{3600}{1000} \cdot 4.3 \cdot 1 \cdot 0.87 \cdot 1 \cdot 1.13 \cdot 1) - (4.90 - 1.96) \cdot \frac{280}{1000} = 14.56 \text{ py}$$

Экономический эффект для составления способов получения заготовок, при которых технологический процесс механической обработки не меняется, можно определить по формуле (2.3):

$$\mathcal{F}_{3} = (S_{3a21} - S_{3a22}) \cdot N_{200} \tag{2.3}$$

где $N_{200} = 100000$ - программа выпуска деталей, шт.

$$\Theta_{3} = (14.56 - 14.03) \cdot 100000 = 53000 py \delta$$

Поскольку стоимость заготовки, получаемой на КГШП меньше, то как конечный вариант получения заготовки шестерни принимаем штамповки КГШП.

Допуски и припуски на поковки, изготовляемые на КГШП, регламентируются ГОСТ 7505-89

Параметры заготовки:

Класс точности - Т3.

Группа стали - М2.

Степень сложности - С2.

Конфигурация поверхности разъема штампа П.

Исходный индекс 12.

На рисунке 2.1 представлен эскиз заготовки.

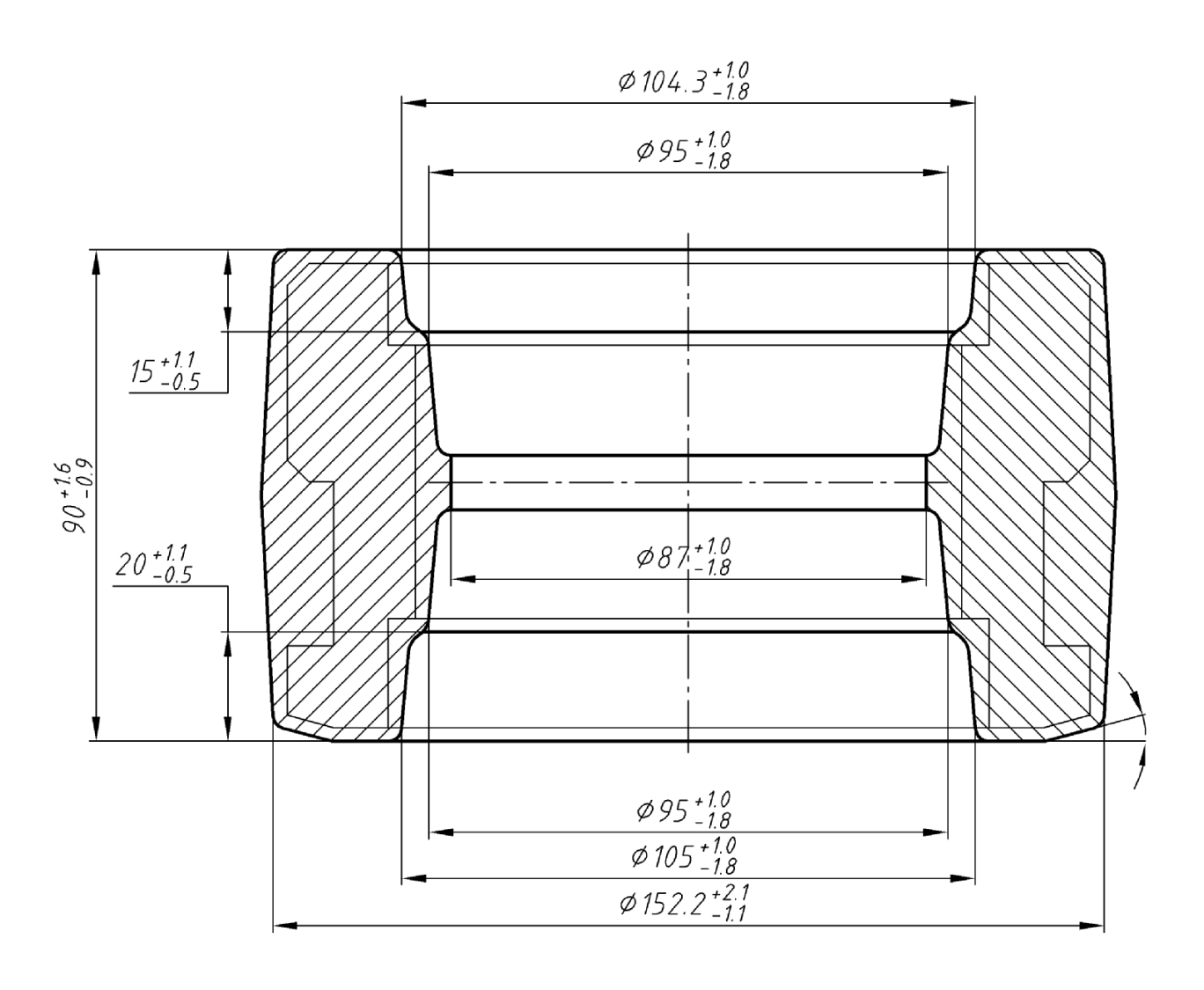


Рисунок 2.1 - Заготовка детали шестерня

2.2 Разработка технологического процесса обработки детали

В таблице 2.2 указываем маршрут обработки поверхностей деталей

Таблица 2.2 - Выбор методов обработки поверхности детали

ОСТИ	Dur	Д	1	буемые азатели	
Номер	Вид поверхно сти	Переход	Квалите т точност и	Шероховато сть Ra, мкм	Маршрут обработки поверхности
1, 14	Плоская	1	14	12,5	Точение черновое

Продолжение таблицы 2.2

					T
		2	12	6,3	Точение чистовое
2, 6, 15, 17, 10, 7, 21	Фаска	1	14	12,5	Точение черновое
		1	14	12,5	Точение черновое
3, 16	Цилиндр	2	12	6,3	Точение чистовое
3, 10	ическая	3	9	3,2	Алмазное растачивание
		4	7	1,25	Шлифование
		1	14	12,5	Точение черновое
4, 18	4, 18 Плоская	2	12	6,3	Точение чистовое
		3	11	3,2	Алмазное растачивание
5	Цилиндр	1	14	12,5	Точение черновое
3	ическая	2	12	6,3	Точение чистовое
		1	9	6,3	Зубофрезерование черновое
8	Фасонная	2	8	3,2	Зубофрезерование чистовое
		3	7	1,25	Зубошевингование
9, 12	Цилиндр	1	14	12,5	Точение черновое
), 12	ическая	2	12	6,3	Точение чистовое

Продолжение таблицы 2.2

11	Цилиндр ическая	1	14	12,5	Точение черновое
13	Фасонная	1	9	3,2	Зубофрезерование
19, 20	Плоская	1	14	12,5	Точение черновое
22	Коническ	1	14	12,5	Точение черновое
22	ая		12	6,3	Точение чистовое
23	Радиус	1	14	6,3	Фрезерование

2.2.1 Разработка маршрута механической обработки

При выборе маршрутного технологического процесса механической обработки детали стремимся принять такой вариант технологического процесса, который бы подходил установленному типу производства. При этом за основу принимаем типовой технологический процесс обработки детали данного класса.

Пользуясь основными положениями технологии машиностроения, предусматриваем в первую очередь операции обработки базовых поверхностей, затем намечаем ряд черновых, чистовых и отделочных операций. При этом убеждаемся в правильности выбора технологических баз, в правильном чередовании технологических операций.

Таблица 2.3 - Технологический процесс механической обработки детали "Шестерня"

№	Наименова ние операции	Описание операции	Оборудовани е
		Установить заготовку	
		Подрезать торец шестерни 14 начерно	
		Расточить центральное отверстие 5, проточку 16 начерно	Токарный вертикальны
005	Токарная	Подрезать торцы шестерни 14 и 18 начисто	й 6-ти шпиндельны й
		Расточить центральное отверстие 5 остаточно, расточить проточку 16. Расточить фаски в 15, 17	
		Точить конический участок 22, точить фаску 21	
		Установить заготовку	
		Точить наружную поверхность зубчатого венца 9, 12 предварительно. Расточить проточку 3 предварительно.	Токарный
010	Токориод	Подрезать торцы 1 и 4 предварительно. Точить канавку 19, 20	вертикальны й 6-ти
010	Токарная	Точить канавку 19, 20	шпиндельны й
		Точить поверхность 9, 12 под зубчатый венец 9, 12. Расточить проточку 3. Расточить фаски 2, 6.	полуавтомат 1Б284
		Подрезать торец шестерни 1 и 4 начисто, точить фаски 7, 10.	
015	Алмазно- расточная	Расточить проточку 16 под шлифование подрезать торец 18	Алмазно- расточной 2706П

Продолжение таблицы 2.3

020	Алмазно- расточная	Расточить проточку 3 под шлифование подрезать торец 4	Алмазно- расточной 2706П
025	Зубофрезер ование	Фрезеровать зубцы 13	Зубофрезеров альный станок 53А30
030	Зубофрезер ование	Фрезеровать зубцы 8	Зубофрезеров альный 53A30
035	Зубозакруг ление	Закруглить зубцы шестерни 23	Зубофрезерн ый 5Н582
040	Зубошевинг ование	Шевинговать зубцы 8	Зубошевинго вальный станок 5702В
045	Термообраб отка		
050	Внутришли фовальная	Шлифовать отверстие 16 начисто	Внутришлиф овальный станок 3К227
055	Внутришли фовальная	Шлифовать отверстие 3 начисто	Внутришлиф овальный станок 3К227
060	Контрольна я		

2.3 Определение припусков на механическую обработку детали

Назначение оптимальных припусков на обработку заготовки имеет большое значение при проектировании тех. процесса. Увеличенные припуски увеличивают трудоемкость механической обработки, отходы металла, затраты режущего инструмента, электроэнергии и др. Уменьшенные припуски

увеличивают трудоемкость и себестоимость получения заготовки в заготовительных цехах.

Проведем расчет припусков аналитическим методом на механическую обработку поверхности $\emptyset 110^{+0,035}$ мм (таблица 2.4). Согласно принятому технологическому процессу обработки детали данный размер обрабатывается по следующим этапам.

- расточка черновая,
- Расточка чистовая,
- алмазное растачивание,
- Шлифование

Таблица 2.4 - Расчет элементов припуска поверхности $\emptyset 110^{+0,035}$ мм.

ский	Элементы припуска			KM	аметр	MKM	Границы размеров		Граничны е			
огиче (обра						2z min, мкм	ый ди	к, Тd,	разм	Сров	прип	уски
Технологический переход обработка	Rz	Т	ρ	Е	2z n	Расчетный диаметр	Допуск, Та, мкм	dmin	dmax	2Zmax	2Zmin	
Заготовк	150	250	156 5	-		105.279	2800	102.5	105.30			
Точение черновое	50	50	94	503	4088	109.367	870	108.50	109.37	6.00	4.07	
Точение чистовое	30	30	4	30. 2	397	109.765	350	109.41	109.76	0.91	0.39	
Алмазное растачива ние		20	0	45	210	109.975	87	109.88	109.97	0.47	0.21	
Шлифова ние	5	15	0	0	60	110.035	35	110.000	110.035	0.12	0.06	

Суммарное пространственное отклонение заготовки рассчитываем по формуле (2.4):

$$\rho_{3az} = \sqrt{\rho_{cM}^2 + \rho_{9\kappa c}^2} \tag{2.4}$$

где ρ_{cm} =0,7 мм - погрешность по смещению штампа [3]

 $ho_{
m skc}$ =1,4 мм — погрешность по эксцентриситету для поковки массой от 1.6 до 4.0 кг [3]

$$\rho_{_{3az}} = \sqrt{0.7^2 + 1.4^2} = 1.565$$
мм = 1565мкм

Определяем остаточную величину пространственного отклонения по формуле (2.5):

$$\rho_l = \kappa_y \times \rho_{3az} , \qquad (2.5)$$

где ку- коэффициент уточнения формы [3]

После растачивания чернового:

$$\rho_1 = 0.06 \times 1565 = 94$$
 мкм.

После растачивания чернового:

$$\rho_2 = 0.04 \times 94 = 4.0$$
 MKM.

После алмазного растачивания:

$$\rho_3 = 0.02 \times 4.0 = 0.08$$
 MKM

Находим погрешность установки по формуле (2.6):

$$\varepsilon_{y} = \sqrt{\varepsilon_{\delta}^{2} + \varepsilon_{\beta}^{2} + \varepsilon_{np}^{2}} , \qquad (2.6)$$

При черновом растачивании:

 $\mathcal{E}_{\delta} = 0 \ \mathit{мкм} - \text{поскольку базирования осуществляется в трехкулачковом патроне, который центрируется.}$

 $\mathcal{E}_{3} = 500 \text{ мкм} \ \text{установка по необработанной поверхности } \varnothing \ \text{до } 180 \ \text{мм} \ [3];$

 $\mathcal{E}_{np} = 50 \ \text{мкм} - \text{поскольку установка в одноместном приспособлении, но установленном на многопозиционном станке. [3]$

$$\varepsilon_y = \sqrt{0^2 + 500^2 + 50^2} = 503 \text{ мкм}$$

При чистовом растачивании:

$$\varepsilon_{v} = 503.0,06 = 30.2 \text{MKM}$$

При алмазном растачивании:

$$\varepsilon_{v} = 45 \text{ мкм}$$

При шлифовании:

$$\varepsilon_v = 0$$
 мкм

Определим минимальные припуски на обработку 2Zmin.

Воспользуемся формулой (2.7) для обработки цилиндрических поверхностей заготовки.

$$2Z \min = 2(Rz_{i-1} + T_{i-1} + \sqrt{\rho_{i-1}^2 + \varepsilon_i^2})$$
 (2.7)

При черновом растачивании:

$$2Z \min = 2(150 + 250 + \sqrt{1565^2 + 503^2}) = 4088 \text{ MKM}$$

При чистовом растачивании

$$2Z\min = 2(50+50+\sqrt{94^2+30^2}) = 397$$
 MKM

При алмазном растачивании

$$2Z\min = 2(30+30+\sqrt{4^2+45^2}) = 210 \text{ MKM}$$

При шлифовании

$$2Z \min = 2(10+20) = 60 \text{ MKM}$$

Определяем расчетный диаметр по формуле (2.8):

$$d_{p} = d_{p+1} - 2Z \min (2.8)$$

Заполняем графу "Расчетный размер" начиная с конечного, чертежного размера последовательным вычитанием расчетного припуска выполняемого перехода:

$$d_{p4} = 110.035$$

$$d_{p3} = 110.035 - 0.060 = 109.975$$
 мм

$$d_{p2} = 109.975 - 0.21 = 109.765$$
мм
$$d_{p1} = 109.765 - 0.397 = 109.367$$
мм
$$d_{p0} = 109.367 - 4.088 = 105.28$$
мм

В графе "Предельный размер" наибольшего значения (D_{max}) получаем по расчетным размерам, закругленных к точности допуска соответствующего перехода, а маленькие (D_{min}) - путем вычитания допусков соответствующих переходов.

Заносим в таблицу значение межоперационных допусков по соображениям экономической точности обработки [12] Допуск на заготовку по ГОСТ 7505-89

$$Td_1 = 35$$
 мкм; $Td_2 = 87$ мкм; $Td_3 = 350$ мкм; $Td_4 = 870$ мкм; $Td_{3ar} = 2800$ мкм

Определим наименьшие предельные размеры по формуле (2.9):

$$d_{\min} = d_p - Td$$
 (2.9)
$$d_{\min_{3ae}} = 105.3 - 2.8 = 102.5 \text{MM}$$

$$d_{\min_{1}} = 109.37 - 0.87 = 108.5 \text{MM}$$

$$d_{\min_{2}} = 109.76 - 0.35 = 109.41 \text{MM}$$

$$d_{\min_{3}} = 109.97 - 0.087 = 109.88 \text{MM}$$

$$d_{\min_{4}} = 110.035 - 0.035 = 110.00 \text{MM}$$

Определим предельные значения припусков по формулам (2.10) и (2.11):

$$2Z_{\min i}^{IIP} = d_{\min i-1} - d_{\min i}$$

$$2Z_{\min 1}^{IIP} = 109.37 - 105.3 = 4.07 \text{MM}$$

$$2Z_{\min 2}^{IIP} = 109.76 - 109.37 = 0.39 \text{MM}$$

$$(2.10)$$

$$2Z_{\min 3}^{IIP} = 109.97 - 109.760 = 0.21 \text{MM}$$

$$2Z_{\min 4}^{IIP} = 110.035 - 109.97 = 0.06 \text{MM}$$

$$2Z_{\max i}^{IIP} = d_{\max i-1} - d_{\max i} \qquad (2.11)$$

$$2Z_{\max 1}^{IIP} = 108.5 - 102.5 = 6.00 \text{MM}$$

$$2Z_{\max 2}^{IIP} = 109.41 - 108.5 = 0.91 \text{MM}$$

$$2Z_{\max 3}^{IIP} = 109.88 - 109.41 = 0.47 \text{MM}$$

$$2Z_{\max 4}^{IIP} = 110.00 - 109.88 = 0.12 \text{MM}$$

Определим $2Z_{oбщ\ min}$ и $2Z_{oбщ\ max}$ по формуле (2.12):

$$2Z_{o\delta uy} = \sum_{i=1}^{n} 2Z_{i}$$

$$2Z_{o\delta uy \min} = 4.07 + 0.39 + 0.21 + 0.12 = 4.79 MM$$

$$2Z_{o\delta uy \max} = 6.0 + 0.91 + 0.473 + 0.12 = 7.50 MM$$

$$(2.12)$$

Определим величину номинального припуска с учетом несимметричного расположения поля допуска заготовки по формуле (2.13):

$$Z_{oбщ.hom} = Z_{oбщ min} + B_3 - B_{\partial}$$
 (2.13)

где B_3 - верхнее отклонение от допуска заготовки, определим его по формуле (2.14):

$$B_3 = H_{ut} + \frac{K_y}{2} \tag{2.14}$$

где U_{uu} – допуск по износу штампу; U_{uu} = 1,0 мм [3]. K_{y} - коэффициент усадки, рассчитывается по формуле (2.15)

$$K_{v} = 1,0 \times L \tag{2.15}$$

где 1,0 мкм — колебания усадки, L=20 мм — длина поверхности, которая рассчитывается.

$$K_y = 0,001 \times 20 = 0.02$$
 мм
$$B_3 = 1 + \frac{0.02}{2} = 1.01$$
мм
$$Z_{oбщ.hom} = 4.74 + 1.01 - 0.025 = 5.715$$
мм
$$d_{3az.hom} = 110 - 5.72 = 104.29$$
мм

Размер заготовки $d_{_{3аг.ном}} = 104.3^{1.0}_{-1.8}$ мм

$$d_{3a2 max} = 104,3 + 1,0 = 105,3 \text{ MM}$$

$$d_{3a2 min} = 104,3 - 1,8 = 102,5 \text{ MM}$$

По результатам расчетов строим схему расположения припусков, допусков и межоперационных размеров на обработку поверхности $\varnothing 110^{+0,035}$ (рисунок 2.2).

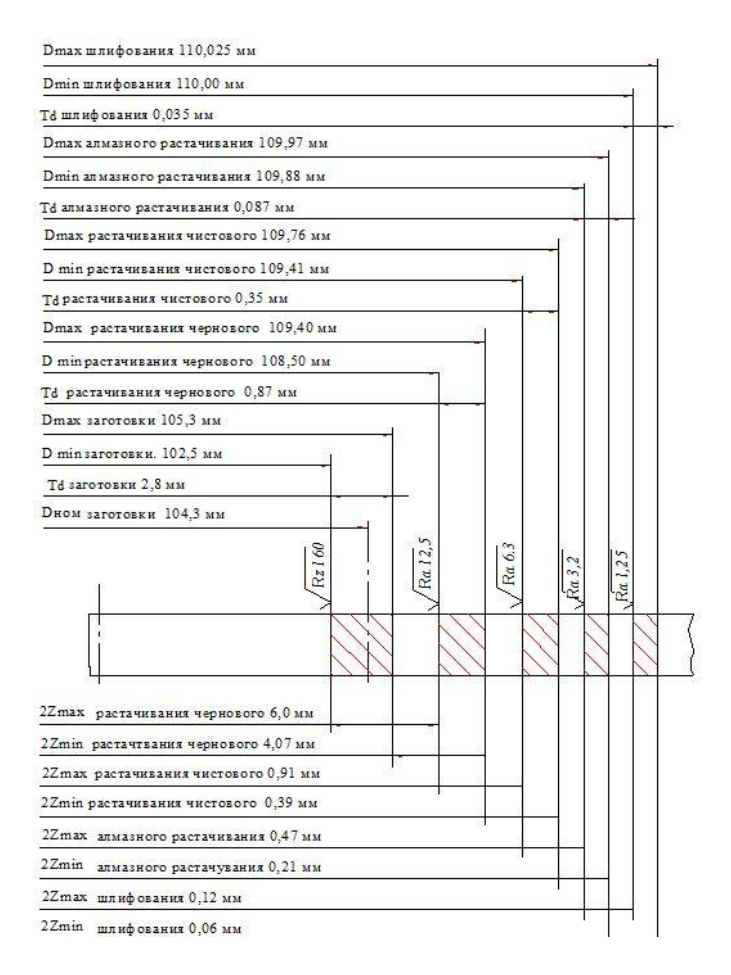


Рисунок 2.2 - Схема разработки припусков и операционных размеров.

2.4 Выбор технологического станочного оборудования

Выбор технологического оборудования для выполнения тех. процесса имеет большое значение и влияет на экономические показатели изготовления детали.

Проведем выбор технологического станочного оборудования по каждой операции технологического процесса обработки детали.

Таблица 2.5 - Краткая характеристика оборудования технологического процесса обработки детали

Наименование и модель оборудования		Dmax обработки мм	Lmax обработки мм	Число ступеней вращения	Пределы	Число подач	Пределы чисел подач	Мощность двигателя, кВт.
05	Токарный вертикальный 6-ти шпиндельный 1Б284	360	200	22	20-224	-	0.08- 5.0	30
10	Токарный вертикальный 6-ти шпиндельный 1Б284	360	200	22	20-224	-	0.08- 5.0	30
15	Алмазно- расточной 2706П	8-250	450	4	1000- 4000	4	0.025	2,2
20	Алмазно- расточной 2706П	8-250	450	4	1000- 4000	4	0.025	2,2
25	Зубофрезерный 53A30	m=6 320	220		50-400	-	0.63- 7 0.3-2	4.2

Продолжение таблицы 2.5

30	Зубофрезерный 53A30	m=6 320	220	-	50-400	-	0.63- 7 0.3-2	4.2
35	Зубофзерный 5Н582	m=1,5 -6 320	260	6	1400- 4700	-	-	2,5
40	Зубошевингова льный 5702В	m=6 320	100	-	63-500	-	0,02- 0,06 18- 300	3,0
50	Внутришлифова льный 3К227	250 5-150	125	4	9000- 22000	-	-	4,0
55	Внутришлифова льный 3К227	250 5-150	125	4	9000- 22000	-	-	4,0

2.5 Нормирование технологических операций

Проведем нормирование операций технологического процесса обработки деталей. В качестве примера рассчитаем технические нормы времени для операции 05 токарная технологического процесса обработки детали "Шестерня"

Исходные данные:

Станок: Токарный вертикальный 1Б284

Масса детали - 3.9 кг

Основное машинное время - 0,88 мин. Выбираем по лимитирующей позиции №3

Приспособление - Патрон трехкулачковый с гидроприводом.

В условиях серийного производства норма штучное время рассчитывается по формуле (2.16):

$$T_{um} = (T_O + T_B) \cdot (1 + \frac{A_{o\delta c} + A_{om\delta}}{100}),$$
 (2.16)

где $T_O = 0.88$ мин. — основное машинное время; T_B — вспомогательное машинное время, рассчитывается по формуле (2.17)

$$T_B = T_{vcm} + T_{vn} + T_{usm} ag{2.17}$$

 $T_{ycm} = 0,11$ мин. — время на установку и снятия детали [14]

При установке в самоцентрирующий патрон для деталей массой до 3 кг (перекрывается основным временем)

 T_{vn} =0,36 мин. - время, связанное с управлением станком.

Содержание работ.

Включить и выключить узлы станка кнопкой = 0,015 мин. [14]

Ожидания остановки вращения шпинделя = 0,05 мин. [14]

Очистить приспособления от стружки сжатым воздухом = 0,105 мин. [14]

Перемещение суппорта в вертикальном направлении = 0,11 мин. [14]

 $T_{инл}$ - время индексации станка = 0,10 мин

$$T_{yn} = 0.015 + 0.05 + 0.105 + 0.11 + 0.1 = 0.36$$
 мин.

 $T_{\text{изм}}$ - вспомогательное время, связанное с измерением и контролем = 0,10 мин. при контроле штангенциркулем диаметра до 150 мм и длине до 50 мм для точности 0,01 мм. [14]

Поскольку измерения для 6-ти размеров тогда $T_{\mbox{\tiny H3M}} = 0.1 \times 6 = 0.6$ мин

Так как контроль осуществляется для 30% деталей тогда Тизм = 0.6×0.4 = 0.26 мин

$$T_{\text{onep}} = 0.88 + 0.36 = 1.24 \text{ MUH}.$$

где T_{B} - вспомогательное время, не перекрывается

 $A_{\text{обс}}$ - время на обслуживание рабочего места в процентах от оперативного;

$$A_{oбc} = 2,5\%$$
 [14]

 $A_{\text{отд}}$ - время на отдых и личные надобности в% от оперативного

$$A_{\text{отд}} = 7,0\%$$

$$T_{um} = 1,24 \times \left(1 + \frac{2,5 + 7,0}{100}\right) = 1,35$$
 muh

На остальные операций технологического процесса обработки деталей нормирования проведем таким же образом. Результат расчетов сведены в таблицу 2.6.

Таблица 2.6 - Технические нормы времени на механическую обработку детали шестерня

№	Наименова ние операции	T_{o}	Вспомогательно е время		Топер		об	Тотд	Тшт	
			Туст	Туп	Тизм		Ттех	Торг	7-10	
005	Токарная	0,88	0,11	0,36	0,264	1,24	-	0,03	0,09	1,35
010	Токарная	2,20	0,1	0,36	0,16	2,56	-	0,06	0,17	2,79
015	Алмазно- расточная	1,08	0,22	0,32	0,059	1,62	-	0,04	0,11	1,77
020	Алмазно- расточная	0,88	0,22	0,32	0,059	1,42	-	0,04	0,09	1,55
025	Зубофрезер ование	27,60	0,22	0,22	0,04	28,04	-	0,7	1,82	30,56
030	Зубофрезер ование	17,60	0,22	0,22	0,04	18,04	-	0,45	1,17	19,66
035	Зубозакруг ление	4,40	0,22	0,22	0,18	4,84	-	0,12	0,31	5,28
040	Зубошевинг ование	3,58	0,22	0,38	0,16	4,18	-	0,1	0,27	4,55
050	Внутришли фовальная	1,68	0,12	0,24	0,132	2,04	0,08	0,03	0,14	2,29
055	Внутришли фовальная	1,68	0,12	0,24	0,132	2,04	0,08	0,03	0,14	2,29

3 Совершенствование операций с помощью научных исследований

Задача раздела — на базе научных исследований усовершенствовать лимитирующие операции шлифования.

Известный подход к оптимизации режимов резания, в том числе и при шлифовании на базе математической модели в виде системы неравенств и целевой функции [27] можно применить и для оптимизации характеристики шлифовального круга. Для этого нужно найти численное выражение элементов характеристики круга. Сделать это возможно для таких элементов характеристики, как: зернистость абразива в виде номера зернистости Z; твердость круга в виде глубины лунки Н при пескоструйном определении твердости; структуры круга в виде номера структуры S.

Зависимость технологических показателей от элементов характеристики круга можно выразить уравнением типа

$$A = C_{A} \times K_{A} \times Z^{X_{A}} \times H^{Y_{A}} \times S^{Z_{A}}$$
(3.1)

где A —показатель шлифования (сила резания, температура, шероховатость, износ круга, удельная производительность);

 $C_{\scriptscriptstyle A}$ - постоянный коэффициент;

 $K_{\scriptscriptstyle A}$ - коэффициент, учитывающий отличие условий шлифования от базовых:

Z - номер зернистости круга;

H - глубина лунки в мм;

S - № структуры круга;

 X_{A}, Y_{A}, Z_{A} - показатели степени, учитывающие степень влияния на показатель A соответственно зернистости, твердости и структуры.

Математическая запись технических ограничений будет иметь вид:

а) Ограничение по точности (прогибу детали):

$$f \le a \times Td \tag{3.2}$$

где f - прогиб детали, мм;

 $Td\,$ - допуск на диаметр детали при шлифовании, мм; $a\,$ - часть допуска на диаметр, приходящийся на прогиб.

б) Ограничение по шероховатости:

$$Ra \le Ra_o$$
 (3.3)

где *Ra* - шероховатость шлифованной поверхности, мкм;

 Ra_o - заданная шероховатость поверхности, мкм.

в) Ограничение по температуре:

$$T \le T_{o} \tag{3.4}$$

где T - температура шлифования, град. C;

 $T_{\it o}$ - допустимая температура (температура без прижогового шлифования), град. С.

г) Ограничение по мощности главного движения:

$$N \le \eta \times N_{\alpha} \tag{3.5}$$

где N - мощность шлифования, кBт;

 N_o - мощность привода главного движения, кВт;

 η - кпд привода главного движения.

д) Ограничение по мощности привода детали:

$$N_1 \le \eta_1 \times N_{a1} \tag{3.6}$$

где N_1 - мощность шлифования, кВт;

 N_{o1} - мощность привода детали, кВт;

 η - кпд привода детали.

д) Ограничение по предельным значениям элементам характеристики круга:

$$Z_{\min} \le Z \le Z_{\max} \tag{3.7}$$

$$H_{\min} \le H \le H_{\max} \tag{3.8}$$

$$S_{\min} \le S \le S_{\max} \tag{3.9}$$

где $Z_{\min}, Z_{\max}, \; H_{\min}, H_{\max}, \; S_{\min}, S_{\max}$ - предельные значения зернистости, твердости и структуры.

В качестве целевой функции модели примем удельную производительность:

$$q = \frac{Q}{V} \tag{3.10}$$

где $\,Q\,$ - количество сошлифованного материала, мм3;

q - объем изношенного за тоже время круга, мм3

$$q \to \max$$
 (3.11)

Объединяя выражения (3.1) ... (3.9) и (3.11) получим модель оптимальной характеристики шлифовального круга в общем виде:

$$\begin{cases} f \leq a \times Td \\ Ra \leq Ra_o \\ T \leq T_o \\ N \leq \eta \times N_o \\ N_1 \leq \eta_1 \times N_1 \\ Z \geq Z_{\min} \\ Z \leq Z_{\min} \\ H \geq H_{\min} \\ H \leq H_{\max} \\ S \geq S_{\min} \\ S \leq S_{\max} \\ \hline q \rightarrow \max \end{cases}$$
(3.12)

Для конкретизации модели (3.12) необходимы ограничивающие факторы в выражениях (3.2)...(3.9) и (3.11) выразить через элементы характеристики круга.

а) Ограничение по точности:

Максимальный прогиб f мм определяется по формуле:

$$f = \frac{Py \times l^3}{48E \times J} \tag{3.13}$$

где Py - предельная составляющая сила резания, кг;

l - длина детали, мм;

E - модуль упругости материала детали, кг/мм2.

J - момент инерции сечения детали, мм4.

Сила резания составляет:

$$Py = Cy \times Ry \times Z^{x_y} \times H^{y_y} \times S^{z_y}$$
(3.14)

Модуль упругости для стали $E=2\times104$ кг/мм2.

Момент инерции круглого сечения J=0.05d4 мм4

где d – диаметр вала, мм

Подставляя (3.14) в (3.13) и перенося правую часть искомые Z, H и S, получим:

$$Z^{xy} \times H^{yy} \times S^{zy} \le \frac{1000 \times a \times Td \times d^4}{Cy \times Ky \times l^3}$$
(3.15)

б) Ограничение по шероховатости:

$$Ra \le C_{\scriptscriptstyle R} \times K_{\scriptscriptstyle R} \times Z^{\scriptscriptstyle X_{\scriptscriptstyle R}} \times H^{\scriptscriptstyle Y_{\scriptscriptstyle R}} \times S^{\scriptscriptstyle Z_{\scriptscriptstyle R}} \tag{3.16}$$

Подставляя (7.16) в (7.3), получим:

$$Z^{X_R} \times H^{Y_R} \times S^{Z_R} \le \frac{Ra_o}{C_R \times K_R} \tag{3.17}$$

в) Ограничение по температуре:

$$T = C_T \times K_T \times Z^{X_T} \times H^{Y_T} \times S^{Z_T}$$
(3.18)

Подставляя (7.18) в (7.4), получим:

$$Z^{X_T} \times H^{Y_T} \times S^{Z_T} \le \frac{T_0}{C_T \times K_T} \tag{3.19}$$

г) Ограничение по мощности для главного движения.

Мощность резания N, кВт, составляет

$$N = \frac{P_Z \times V}{102} \tag{3.20}$$

где PZ – тангенциальная составляющая силы резания, кг;

V – скорость шлифования, м/с.

Сила резания:

$$P_Z = C_Z \times K_Z \times Z^{X_Z} \times H^{Y_Z} \times S^{Z_Z}$$
 (3.21)

Решая совместно (7.5), (7.20), (7.21), получим:

$$Z^{X_Z} \times H^{Y_Z} \times S^{Z_Z} \le \frac{102 \times \eta \times N_0}{C_Z \times K_Z \times V}$$
(3.22)

д) Определение по мощности привода детали.

Мощность, необходимая для вращения детали:

$$N = \frac{P_Z \times V_1}{102 \times 60} \tag{3.23}$$

где V1 – скорость детали, м/мин.

Решая совместно (3.6), (3.21), (3.23), получим

$$Z^{X_Z} \times H^{Y_Z} \times S^{Z_Z} \le \frac{6120 \times \eta_1 \times N_{01}}{C_Z \times K_Z \times V_1}$$
(3.24)

Целевая функция:

$$q = C_q \times K_q \times Z^{X_q} \times H^{Y_q} \times S^{Z_q}$$
(3.25)

Решая (3.25) совместно с (3.11), будем иметь:

$$Z^{X_q} \times H^{Y_q} \times S^{Z_q} \longrightarrow \max$$
 (3.26)

Математическую модель оптимальной характеристики круга можем теперь записать в виде:

$$\begin{cases} Z^{Xy} \times H^{Yy} \times S^{Zy} \leq \frac{1000 \times a \times Td \times d^4}{Cy \times Ky \times l^3} \\ Z^{X_R} \times H^{Y_R} \times S^{Z_R} \leq \frac{Ra_o}{C_R \times K_R} \\ Z^{X_T} \times H^{Y_T} \times S^{Z_T} \leq \frac{T_0}{C_T \times K_T} \\ Z^{X_Z} \times H^{Y_Z} \times S^{Z_Z} \leq \frac{102 \times \eta \times N_0}{C_Z \times K_Z \times V} \\ Z^{X_Z} \times H^{Y_Z} \times S^{Z_Z} \leq \frac{6120 \times \eta_1 \times N_{01}}{C_Z \times K_Z \times V_1} \end{cases}$$

$$Z \qquad \qquad \geq Z_{\min}$$

$$Z \qquad \qquad \leq Z_{\max}$$

$$H \qquad \geq H_{\min}$$

$$H \qquad \leq H_{\max}$$

$$S \qquad \leq S_{\min}$$

$$S \qquad \leq S_{\max}$$

$$Z^{X_q} \times H^{Y_q} \times S^{Z_q} \rightarrow \max$$

$$Z^{X_q} \times H^{Y_q} \times S^{Z_q} \rightarrow \max$$

Система (3.27) представляет собой математическую модель оптимальной характеристики шлифовального круга, обеспечивающей максимальную удельную производительность при выполнении всех технических ограничений.

Значения коэффициентов и показателей степени в выражениях модели (3.27) определяют экспериментально. Для решения конкретной задачи оптимизации характеристик шлифовальных кругов для операций 150, 160, 170 воспользуемся данными исследований [28,29].

С учетом этих результатов модель оптимальной характеристики круга для операций 50 будет выглядеть следующим образом:

$$Z^{-0,22} \times H^{-0,37} \times S^{-0,23} \leq \frac{1000 \times 0,5 \times 0,046 \times 60^{4}}{50 \times 310^{3}}$$

$$Z^{0,7} \times H^{0,29} \times S^{0,27} \leq \frac{1,6}{0,14}$$

$$Z^{-0,13} \times H^{-0,34} \times S^{-0,22} \leq \frac{650}{2900}$$

$$Z^{-0,25} \times H^{-0,5} \times S^{-0,32} \leq \frac{102 \times 0,9 \times 7,5}{34 \times 35}$$

$$Z^{-0,25} \times H^{-0,5} \times S^{-0,32} \leq \frac{6120 \times 0,85 \times 1,5}{35}$$

$$Z \qquad \geq 8$$

$$Z \qquad \leq 40$$

$$H \qquad \geq 3$$

$$H \qquad \leq 8$$

$$S \geq 6$$

$$S \leq 12$$

$$(3.28)$$

(твердость СТ1) (твердость М2)

$$Z^{-0,3} \times H^{-0,17} \times S^{-0,4} \longrightarrow \text{max}$$

Математическая модель для операции 55 будет аналогичной, за исключением 2 – го неравенства, которое будет иметь вид:

$$Z^{0,7} \times H^{0,29} \times S^{0,27} \le \frac{0.8}{0.14}$$
 (3.29)

Решая модель (3.29) на ПК, получим оптимальные характеристики шлифовального круга:

Для операций 50: Z=25; H=5 (CM2); S=9.

Для операции 55: Z=12; H=5 (CM2); S=6.

4 Проектирование приспособления

Задача раздела – спроектировать специальные приспособления для тех операций, где применение стандартных приспособлений не обеспечивает требуемую эффективность.

4.1 Описание приспособления

Специальное установочное зажимное приспособление для фрезерования зубьев применяется на операции «25 Зубофрезерование» технологического процесса обработки шестерни (рисунок 4.1). Приспособление устанавливается на стол зубофрезерного станка модели 53А30.

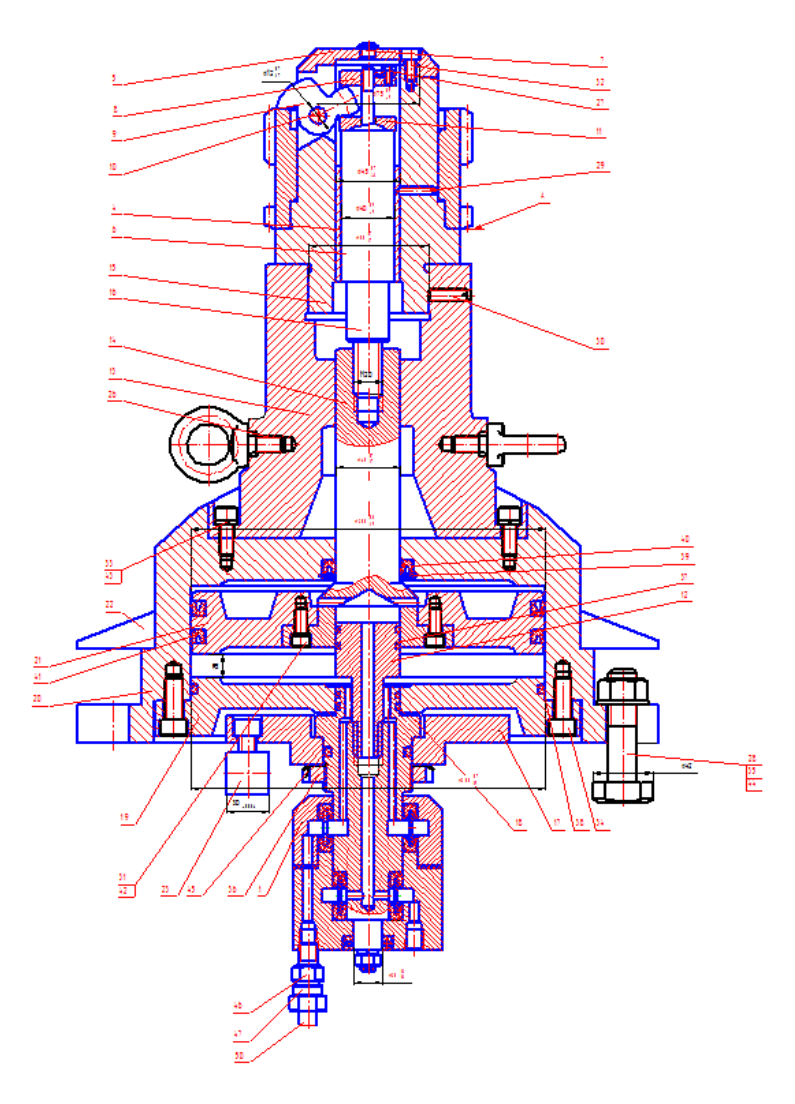


Рисунок 4.1 - Приспособление для фрезерования зубьев

Приспособление состоит из общего литого корпуса позиция 22, в центральной части которого имеется полость для размещения пневмоцилиндра, в резьбовую часть штока позиция 16 пневмоцилиндра ввернута тяга позиция 16. В верхней части корпуса имеется опорные пластины, на которые нижним торцом зубчатого венца устанавливается деталь. В радиальном направлении деталь базируется на оправке позиция 1 по начисто обработанным отверстия. В центре располагается цилиндр зажима, который с помощью штока осуществляет зажим детали двумя двохплечевыми рычагами позиция 12.

В нижней части корпуса расположен узел подвода воздуха позиция 2, который регулирует подачу воздуха в полости пневмоцилиндра.

Принцип работы приспособления заключается в следующем. На оправку устанавливается обрабатываемая деталь. Далее происходит подача сжатого безштоковую полость пневмоцилиндра, воздуха после чего ШТОК перемещаясь вверх и зажимает деталь двумя двухплечевыми рычагами. Проводится операция фрезерования зубьев, по окончании которой фреза возвращается в исходное положение. После чего безштоковая полость через узел подвода воздуха соединяется с атмосферой, в штоковую полость подается сжатый воздух, который перемещает поршень вниз, освобождая деталь от усилия зажима. Далее обработанная деталь снимается c оправки приспособления, а необработанная устанавливается, после чего обработки повторяется.

Схема базирования детали показана на рисунке 4.2. Анализируя данную схему базирования определяем, что данная схема позволяет лишить деталь 5-ти степеней свободы.

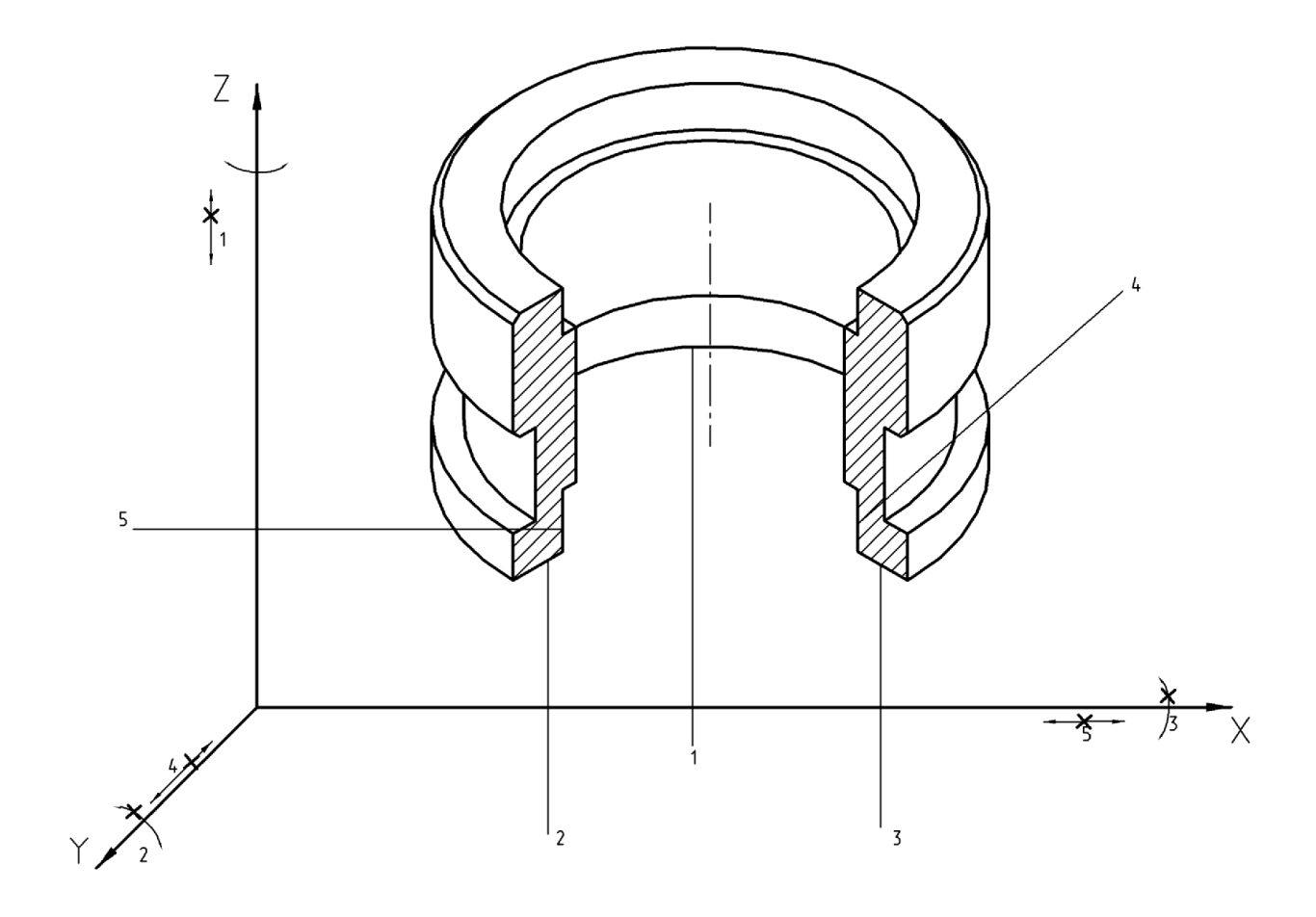


Рисунок 4.2 - Анализ схемы базирования

4.2 Расчет необходимого усилия зажима

Мощность, необходимая для фрезерования

$$N=10^{-3} C_N \times S^{y} \times m^{x} \times D^{u} \times Z^{q} \times V \times K_{N}; \tag{4.1}$$

где Z = 40 - число зубьев шестерни;

 $K_N = 1,2$ - коэффициент, учитывающий механические свойства материала;

 $C_N = 124;$

y = 0.9;

x=1,7;

u = -1,0;

q=0

N=
$$10^{-3}$$
 x 124 x $2.2^{0.9}$ x $3.5^{-1.70}$ x $100^{-1.0}$ x 40^{-0} x 31.4 x 1.20 = 1.80 kbt

Определяем силу Рг

$$P_z = \frac{N_e \cdot 1020 \cdot 60}{v} \tag{4.2}$$

где $Ne = 1,80 \ \kappa Bm$ — мощность резания, из расчета режимов резания

$$P_z = \frac{1,80 \times 1020 \times 60}{31,40} = 3508,28$$
 H

Вертикальная составляющая

$$P_h = P_z (1, 1 \div 1, 2) \tag{4.3}$$

$$P_h$$
= 1,20 x 3508,3 = 4209,94 H

Горизонтальная составляющая

$$P_{v} = 0.25 P_{z} \tag{4.4}$$

$$P_v = 0.25 \times 3508.3 = 877.07 H$$

Окружная сила

$$P_x = P_z (0.2 \div 0.4) \times tg\omega \tag{4.5}$$

$$P_x = 0.40 \text{ x } 3508.3 \text{ x } 0.1091 = 153.10 \text{ H}$$

где
$$tg\omega = \frac{t}{L} = \frac{8.75}{69,56} = 0,1257$$

t = 8,75 — снимаемый припуск;

L = 69,56 мм - длина контакта фрезы и детали.

$$L = 2\sqrt{R^2 - h^2} \tag{4.6}$$

$$L = 2\sqrt{73,5^2 - 64,75^2} = 69,56$$
mm

где R=147/2=73,5 мм — внешний радиус колеса

$$h = R - t = \frac{147}{2} - 8,75 = 64,75$$
MM

f = 0.16 — коэффициент трения в зоне контакта детали с опорной поверхностью приспособления и зоне контакта детали.

Определяем коэффициент запаса.

$$K = K_0 \times K_1 \times K_2 \times K_3 \times K_4 \times K_5 \times K_6 \tag{4.7}$$

$$K = 1.5 \times 1.0 \ 1.6 \ 1.2 \times 1.0 \times 1.0 \times 1.0 = 2.88$$

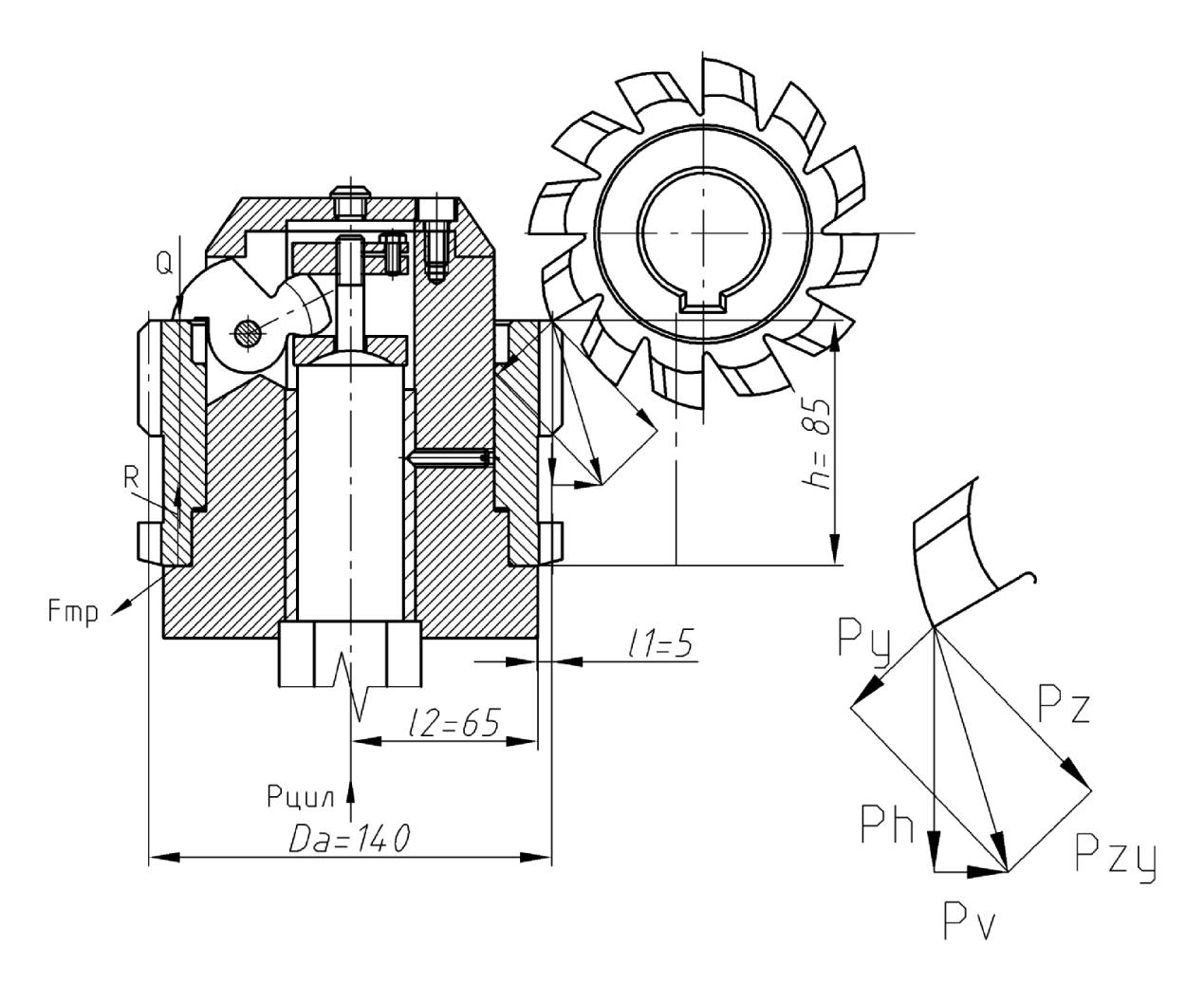


Рисунок 4.3 - Схема действия сил резания и сил зажима

Усилие зажима заготовки от Ph и Pv относительно точки A.

$$(P_h \times l + P_v \times h) \times K \le Q_I \times l_2 \tag{4.8}$$

$$Q_{I} = \frac{K(P_{h} \cdot l_{1} + P_{v} \cdot h)}{l_{2}}; H$$
 (4.9)

$$Q_1 = \frac{2,88 (4209,9 \times 5,0 + 877,1 \times 85)}{65} = 4235,9 H$$

Смещение Ру и Рх.

$$P_{vx} = \sqrt{P_v^2 + P_x^2} = \sqrt{877.8^2 + 153.1^2} = 891.6H$$

$$K \times P_{vx} = F_{mp2} = (Q_{II} + P_h) \times f_2$$
 (4.10)

$$Q_{II} = \frac{K \cdot P_{vx} - P_h \cdot f_2}{f_2}; H \tag{4.11}$$

$$Q_2 = \frac{2,88 \times 891,6 -4209,9 \times 0,16}{0,16} = 11838,9 \text{ H}$$

Проведем расчет передаточного механизма

В качестве передаточного механизма используется система рычага в виде двохплечового рычага.

$$Q \times L_2 = W \times L_1 \times \eta \tag{4.12}$$

где L_1 і L_2 - плечи прижимного рычага.

 $\eta = 0.85$ -0.5 - К.П.Д. рычага

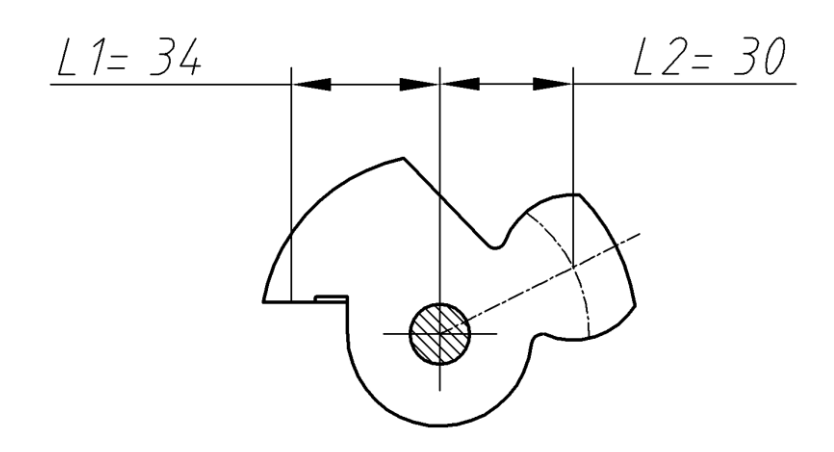


Рисунок 4.4 - Схема передаточного механизма

$$Q = \frac{11838.9 \times 34.0}{30 \times 0.95} = 14123.6 \text{ H}$$
 (4.13)

Диаметр пневмоцилиндра, определяемый по формуле

$$Q_u = 0.785 \times D^2 \times p \times \eta; \tag{4.14}$$

где Q_{u} – необходимая сила зажима;

 $p = 0.4 \div 0.6 \, M\Pi a$ - давление сжатого воздуха;

 $\eta = 0.85 \div 0.95 -$ К.П.Д. пнемоцилиндра;

D — диаметр цилиндра;

$$D = \sqrt{\frac{Q}{0.785 \times p \times \eta}} \tag{4.15}$$

$$D = \sqrt{\frac{14123.6}{0.785 \times 0.40 \times 0.85}} = 230.0 \text{ mm}$$

Принимаем ближайшее большее значение диаметра цилиндра согласно стандартным значениям

$$D_{II} = 250 \text{ мм}, du = 45 \text{ мм}.$$

Определяем фактическое усилия на приводе.

$$Q_{\phi} = \frac{\pi \times D^2}{4} \times \eta \times p \tag{4.16}$$

$$Q_{\phi}$$
= 0,785 x 250 ² x 0,85 x 0,6 = 25022 H

Расчет на точность

Определяем допускаемые погрешности приспособления

$$[\varepsilon_{np}] < JT - (K_1 \times \varepsilon_B + \varepsilon_3 + K_2 \times W) \tag{4.17}$$

где JT — допуск на радиальное биение зубчатого венца (при предварительной черновой обработке по 10 степени точности) равен 300 мкм [15];

$$e_{\delta} = 0.5\delta_1 + 0.5\delta_2$$

где $\delta_{l} = 0.087 \, \text{мм}$ - допуск на базовое отверстие [JT9];

 $\delta_2 = 0.022 \, \text{мм}$ - допуск на оправку [JT6];

$$\varepsilon_{\delta} = 0.0255 + 0.5 \times 0.087 + 0.5 \times 0.022 = 0.077 \text{ mm}$$

 $\epsilon_3 = 0$ мкм - поскольку усилия зажима не влияет на точность обработки Погрешность приспособления

$$[\mathcal{E}_{np}] = 0.30 - (0.8 \times 0.077 + 0.0 + 0.6 \times 0.12) = 0.166 \text{ mm}$$

Расчет времени срабатывания.

Время срабатывания определяется по формулам:

$$t = 22,8 \times 10^{-6} \times \frac{\varepsilon \times L}{\beta^2 \times \sqrt{\varepsilon^{1,43} - \varepsilon^{1,715}}}$$
; (c) при $\varepsilon > 0,528$

$$t = 84,4 \times 10^{-6} \times \frac{\mathcal{E} \times L}{\beta^2}$$
; (c) при $\varepsilon < 0,528$

где
$$E = \frac{P_{\scriptscriptstyle H}}{P_{\scriptscriptstyle 0}};$$
 $P_{\scriptscriptstyle H} = \frac{P_{\scriptscriptstyle np}}{F \times f_{\scriptscriptstyle 1}}$

где
$$\mathit{Phg} = 0.5 \; \mathit{Ppa6} = 0.5 \times 0.6 = 0.3 \; \mathit{M}\Pi \mathit{a}$$

$$P_0 = 0$$
,4 МПа - давление воздуха

F - площадь поршня

$$F = 0.25 \times \pi \times D^2 = 0.25 \times \pi \times 250^2 = 49087.38 \text{ mm}^2$$

Рпр - приведенная сила на штоке в начале движения:

$$Pnp = F \times PHB = 49087,38 \times 10^6 \times 0,2 \times 10^6 = 9817,5 H$$

 $f_{I}=0.92$ - коэффициент, учитывающий трение между поршнем и цилиндром

$$P_{_{H}} = \frac{9817.5}{49087.4 \cdot 0.92} = 0.217 M\Pi a$$

$$\varepsilon = \frac{0,217}{0.4} = 0,543$$

 $L = 2.0 \ cм$ - длина хода поршня

 β = 12/250 = 0,048 - отношение диаметра воздуховода к диаметру пневмоцилиндра

Время срабатывания определяется по формуле

$$t = 22.8 \cdot 10^{-6} \frac{0.543 \cdot 2.0}{0.048^2 \cdot \sqrt{0.543^{1.43} - 0.543^{1.715}}} = 0.02c$$

4.3 Расчет на прочность

Наиболее нагруженным элементом приспособления является ось рычага прижима, работающего на срез.

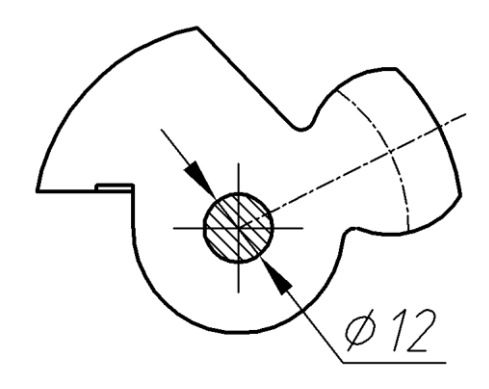


Рисунок 4.5 - Эскиз наиболее нагруженного элемента приспособления

Определяем силу нагрузки.

Сила нагрузки будет равна реакции в опоре механизма рычага, при этом учитываем тип рычажного механизма.

Реакцию опоры определим ее по формуле $R = \sqrt{Q^2 + W^2}$ [12]

где Q усилие на штоке = 25022/2 = 12511 H

W - усилие передаваемое рычагом на деталь. W = 14925, 4/2 = 7462, 7 H

$$W = \frac{Q \times L_1}{L_2 \times \eta}$$

где:

 L_1 =35 мм L_2 = 30 мм длина плечей рычага с чертежа приспособления $\eta = 0.95 - \mathrm{K}\Pi \mathrm{J}$ передаточного механизма;

$$Q = \frac{12511,00 \times 34}{30 \times 0.95} = 14925,4 \text{ H}$$

$$R = \sqrt{12511^2 + 7462.7^2} = 14567.4H$$

Напряжение среза определяется по формуле:

$$\tau_{\rm cp} = \frac{R}{F} \le [\tau_{\rm cp}]$$

где F - площадь сечения оси

$$F = 0.25 \times 3.141 \times 12^{-2} = 113.1 \text{ mm}^{-2}$$

 $[au_{cp}] = 200$ МПа - допустимое напряжение на срез для стали 40X термообработанная [14]

d- диаметр оси 12 мм

$$t_{cp} = \frac{14567,4}{113,1} = 128,80 < 200 \text{ M}\Pi a$$

Условие выполняется.

5 Проектирование режущего инструмента

Задача раздела – спроектировать режущий инструмент для тех операций, где применение стандартного инструмента не обеспечивает требуемую эффективность.

На операции 40 применяется в качестве режущего инструмента шевер. Для проектирования шевера рассчитаем его параметры по методике [23].

Шевингование рабочих поверхностей зубьев цилиндрических колес основано на плотном зацеплении их с зубьями инструмента. На поверхности зубьев шевера имеются канавки, простирающиеся от головки к ножки. В процессе шевингования происходит зацепление двух винтовых колес с перекрещивающимися осями – обрабатываемого колеса и шевера.

Шаг в нормальном сечении шевера

$$t_n = \pi \times m_n \tag{5.1}$$

где m_n - модуль нормальный

$$t_n = \pi \times 2.5 = 7.853982$$
 MM

Угол наклона зуба на делительном цилиндре шевера.

Для прямозубых колес $\beta=0$ оптимальный угол $\beta=10^{o}-20^{o}$, принимаем $\beta_{n}=15^{o}$

Определяем торцевой модуль шевера

$$m_{t} = \frac{m_{n}}{Cos\beta_{n}} \tag{5.2}$$

$$m_t = \frac{2.5}{Cos15^\circ} = 2.588190$$
 _{MM}

Определяем торцевой угол профиля

$$tg\alpha_{t} = \frac{tg\alpha_{n}}{Cos\beta_{n}} \tag{5.3}$$

где α - угол профиля исходного контура

$$tg\alpha_t = \frac{tg20^\circ}{Cos15^\circ} = 20,646896^\circ = 20^\circ 38' 49''$$

Определяем шаг в торцевом сечении

$$t_{t} = \frac{t_{n}}{Cos\beta_{n}} \tag{5.4}$$

$$t_t = \frac{7,853982}{Cos15^\circ} = 8,13104$$

Определяем номинальный делительный диаметр в зависимости от модуля и типа станка.

D=180 MM

Число зубьев шевера

$$z_u = \frac{D}{m_t} \tag{5.5}$$

$$z_u = \frac{180}{2.588190} = 69,546672$$

Принимаем число зубьев согласно таблице 25 z=67 Определяем фактический делительный диаметр шевера

$$D_p = m_t \times z \tag{5.6}$$

$$D_p = 2,588190 \times 67 = 173,40873$$
MM

Определяем диаметр основной окружности шевера

$$D_{on} = D_p \times Cos\alpha_t \tag{5.7}$$

$$D_{on} = 173,40873 \times Cos(20^{\circ}38'49'') = 162,2709_{MM}$$

Определяем толщину зуба шевера

а) в нормальном сечении по дуге делительной окружности без припуска на переточку с учетом обязательного утонения зуба колеса для получения гарантированного зазора

$$S_n = \frac{\pi \times m_n}{2} + \Delta S \tag{5.8}$$

где ΔS - утолщение зубьев инструмента в зависимости от модуля

$$S_n = \frac{\pi \times 2.5}{2} + 0.127 = 4.053991_{\text{MM}}$$

По таблице определяем допуск на толщину зуба 0,03 мм

б) толщина зуба нового шевера с учетом припуска на переточку

$$S_{HOG} = S_n + 2a \tag{5.9}$$

$$S_{HOB} = 4,053991 + 2 \times 0,125 = 4,303991$$
MM

где $a=\Delta/2=0,25/2=0,125$ мм

Определяем высоту головки зуба шевера с учетом обработки активной части зуба и отсутствия зацепления по переходным кривым.

$$h_n' = 1.1 \times m_n \tag{5.10}$$

$$h_n' = 1.1 \times 2.5 = 2.75 \text{ MM}$$

Определяем высоту ножки зуба с учетом достаточного зазора по наружному диаметру заготовки

$$h_n'' = m_n + k + b \times ctg \,\alpha_n \tag{5.11}$$

$$h_n'' = 2.5 + 0.5 + 0.125 \times ctg \, 20^\circ = 3.343435$$

где $b=\Delta/2=0,25/2=0,125$ мм

k- увод сверла при сверлении отверстий для вывода гребенки.

Диаметр окружности впадины шевера

$$D_{in} = D_p - 2 \times h_n$$
 (5.12)

$$D_{in} = 173,40873 - 2 \times 3,343435 = 166,721861 \text{ mm}$$

Проверим: $D_{in} \ge D_{on} + 2$; 166,721861>164,2709 получили эвольвентную поверхность по всей высоте зуба.

Определяем диаметр окружности выступов шевера

$$D_{en} = D_p + 2 \times h_n' \tag{5.13}$$

$$D_{en} = 173,\!40873 + 2 \times 2,\!75 = 178,\!90873$$

Толщину щевера принимаем B=20 мм для m>1 Высота зуба шевера

$$H = \frac{D_{en} - D_{in}}{2} \tag{5.14}$$

$$H = \frac{178,90873 - 166,721861}{2} = 6,09343_{\text{MM}}$$

Заострение вершины зуба P после строгания канавок должно быть не менее $0,1\,\mathrm{mm}$.

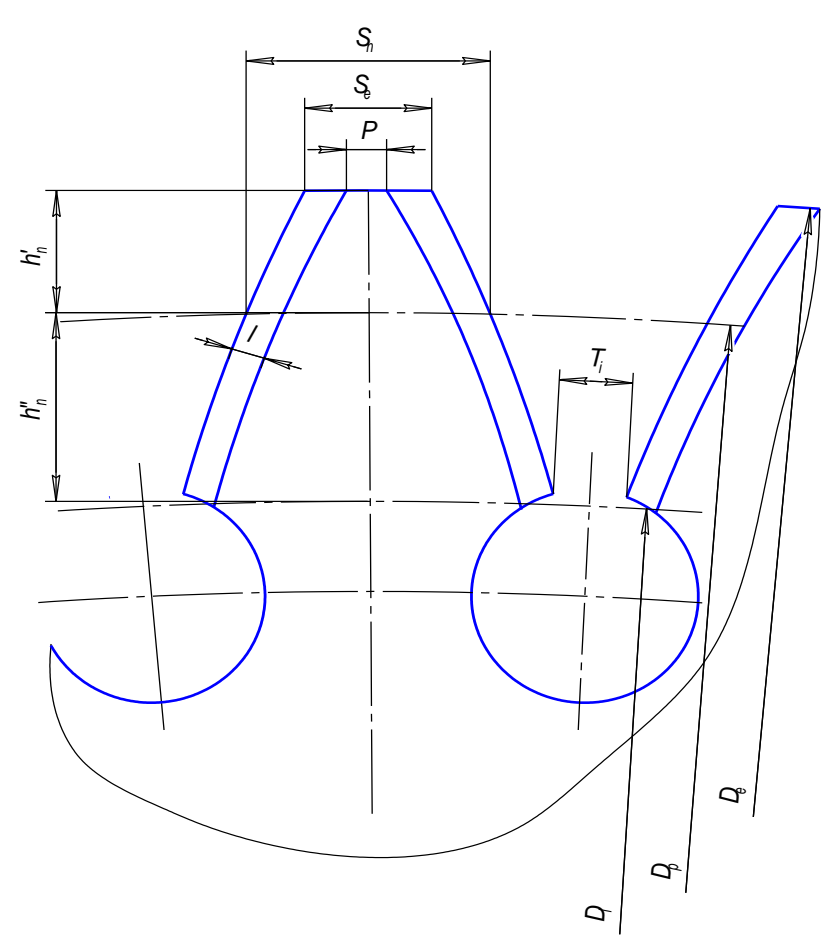


Рисунок 5.1 – Заострение вершины зуба

$$P = S_e - \frac{2 \times l}{Cos\alpha_{m}} \tag{5.15}$$

а) определяем толщину зуба на диаметре выступов

$$S_{e} = D_{en} \times \left(\frac{S_{HOB}}{D_{p} \times Cos\beta_{n}} + inv\alpha_{t} - inv\alpha_{et}\right)$$
 (5.16)

где l = 0,6 мм – глубина канавок

 $\alpha_{\mbox{\tiny et}}$ - угол профиля на окружности выступов

$$\alpha_{et} = ar \cos(\frac{D_p}{D_{en}} \times Cos\alpha_{nt}) = ar \cos(\frac{173,40873}{178,90873} \times Cos20^{\circ}38'49'') = 24,906109 = 24^{\circ}54'22''$$

 $inv\alpha_{t} = 0.016454$

 $inv\alpha_{et} = 0.029621$

$$S_e = 178,90873 \times (\frac{4,303991}{173,40873 \times Cos15^{\circ}} + 0,016454 - 0,029621) = 2,241453_{\text{MM}}$$

б) определим величину заострения на диаметре выступов

$$P = 2,241453 - \frac{2 \times 0.6}{Cos(24,906109)} = 0,918_{MM}$$

Проверка на свободное прохождение гребенки при долблении канавок шевера

а) определяем толщину зуба шевера после фрезерования по дуге делительной окружности

$$S_{t\phi} = \frac{S_n + \delta}{Cos\beta_n} \tag{5.17}$$

где $\delta = 0,45$ припуск на шлифование зуба

$$S_{t\phi} = \frac{4,053991 + 0,45}{Cos15^{\circ}} = 4,66287_{\text{MM}}$$

б) рассчитываем толщину зуба шевера в торцевом сечении по окружности впадин

$$S_{it\phi} = D_{in} \times (\frac{S_{t\phi}}{D_p} + inv\alpha_t - inv\alpha_{it})$$
 (5.18)

$$\alpha_{it} = ar\cos(\frac{D_p}{D_{in}} \times Cos\alpha_{nt}) = ar\cos(\frac{173,40873}{166,721861} \times Cos20^{\circ}38'49'') = 13,26902663 = 13^{\circ}16'09''$$

 $inv\alpha_{t} = 0.016454$

 $inv\alpha_{it}=0,0042312$

$$S_{it\phi} = 166,721861 \times (\frac{4,66287}{173,40873} + 0,016454 - 0,0042312) = 6,52087$$
_{MM}

в) определяем ширину просвета

$$T_i = t_{it} - S_{ittb} ag{5.19}$$

$$T_i = 7.817495 - 6.52087 = 1.296625_{\text{MM}}$$

Определяем диаметр отверстия гребенок при долблении

$$d = T_i + (2.5 \div 3) = 3.7966 \div 4.2966$$

В зависимости от модуля принимаем $d = 4 \, \text{мм}$.

Определяем окружность центров отверстий для выхода гребенки

$$D_{u} = D_{i} - \sqrt{d^{2} - T_{i}^{2}}$$
 (5.20)

$$D_y = 166,721861 - \sqrt{(4^2 - 1,296625^2)} = 162,9378468 \text{ MM}$$

Угол наклона оси отверстия для выхода гребенки

$$tg\beta_u = \frac{D_i \times tg\beta_n}{D_p} \tag{5.21}$$

$$tg\beta_u = \frac{166,721861 \times tg15}{173,40873}$$

$$\beta_u = 14^{\circ}26'47''$$

Выбираем размеры канавок t=1,8; $b_e=0,9$; l=0,6.

Диаметр посадочного отверстия D=63,5

Рабочий чертеж шевера приведен в графической части проекта. Схема шевера показана на рисунке 5.3.

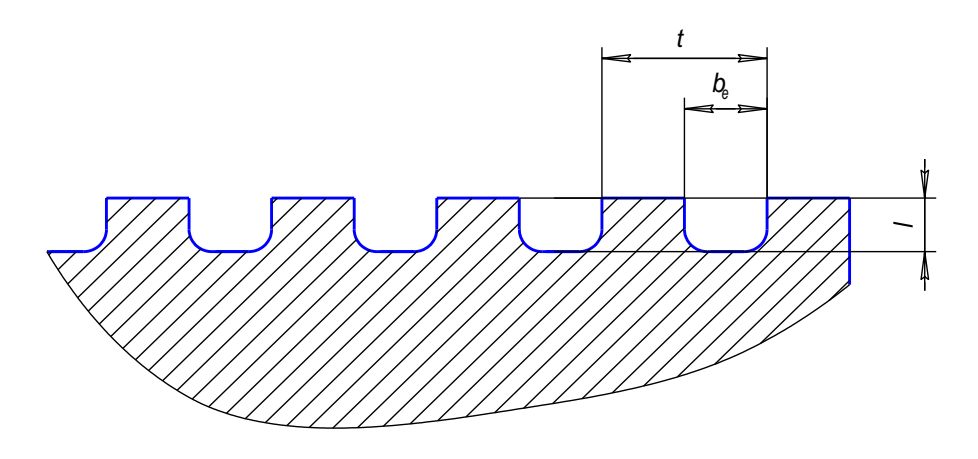


Рисунок 5.2 – Размеры канавок

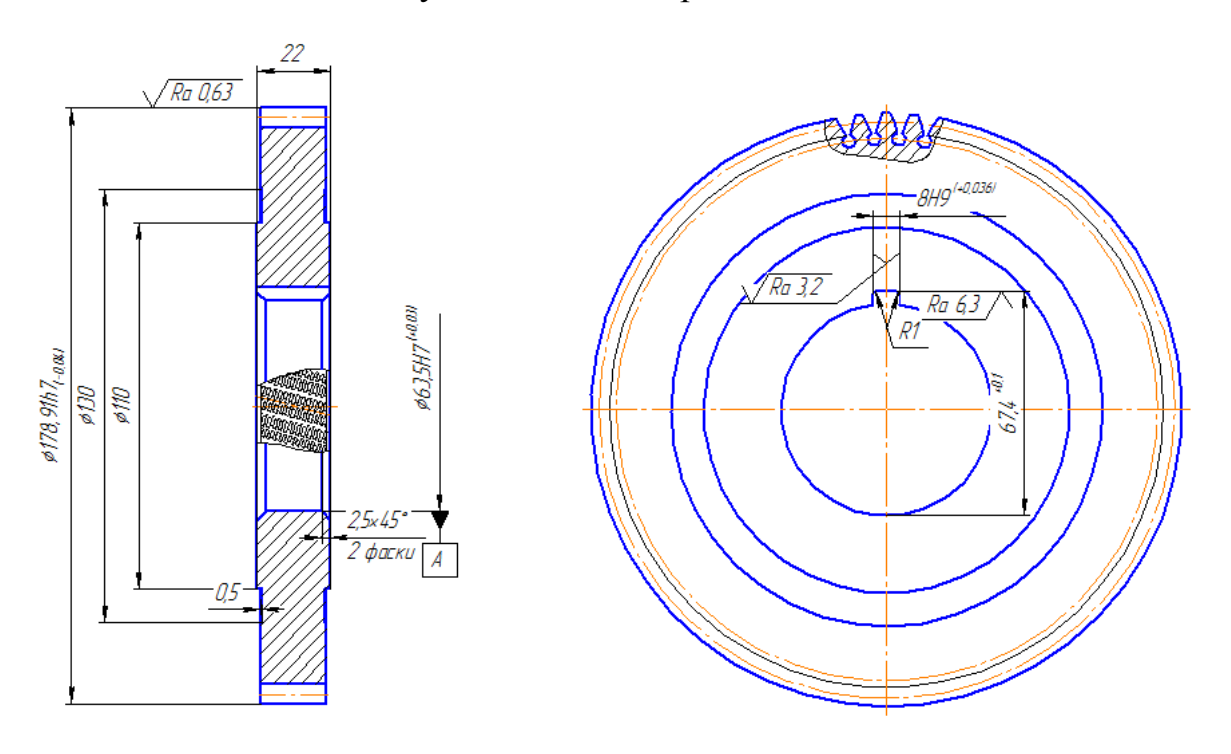


Рисунок 5.3 – Схема шевера

6 Проектирование средств контроля

Контрольные приспособления служат для проверки заготовок, деталей и узлов машин. Приспособление применяются как для межоперационного, так и для окончательного контроля размеров, взаимного положения поверхностей и правильности их геометрической формы. При этом повышается производительность труда, качество и объективная оценка контролируемых изделий.

Данным приспособлением проводится контроль точности изготовления шестерни, радиальное биение за один оборот шестерни, радиальное биение на один зуб и точность межосевого расстояния.

Приспособление состоит из корпуса, в правой части верхней плоскости которого установлена специальная подставка со сменными пальцами (рисунок 6.1).

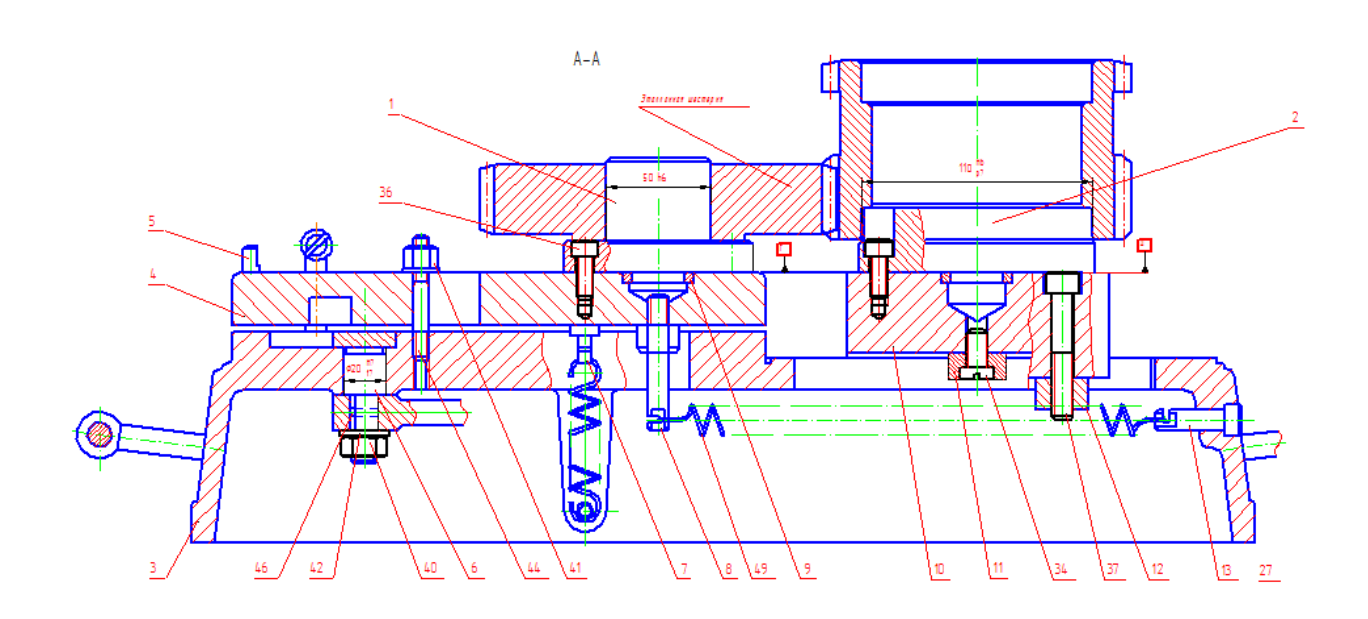


Рисунок 6.1 – Схема контрольного приспособления

Эта подставка имеет возможность регулирования по пазу корпуса. В левой части корпуса располагается подвижная плита на шариковых

направляющих. На плите установлен палец, на котором размещается эталонная шестерня.

Подвижная плита поджимается к направляющим с помощью пружины, одновременно с помощью пружины плита стремится переместится в крайнее правое положение.

При отсутствии контролируемой шестерни, плита упирается в шпильку. В подвижной плите имеется окно, через которое в корпусе установлена стойка с индикатором, который входит в контакт с упором, закрепленным на подвижной плите. Управление перемещением плиты производится с помощью рукоятки и рычажной системы.

Контроль в приспособлении осуществляется следующим образом. С помощью рукоятки подвижная плита, с установленной на ней эталонной шестерней, перемещается в крайнее левое положение. Затем на базовый палец неподвижной стойки устанавливается контролируемая шестерня, после чего отпускают верхнюю плиту и плавно вводят в зацепление проверямую шестерню с эталонной.

После достижения беззазорного зацепления начинают плавно вращать рабочую шестерню. При наличии отклонений в рабочей шестерни подвижная плита получает перемещение, которое отражается на показаниях специального градуированного индикатора ИК-10КЛ1. По разности показаний индикатора судят о пригодности контролируемой шестерни.

Допустимую суммарную погрешность приспособления определим по формуле

$$[\epsilon_{\text{пр.к}}] = \epsilon_{\text{изм}} - (K_1 \times \epsilon_{\text{Бк}} + \epsilon_{\text{3k}} + K_2 \times \omega_{\text{изм}})$$
(6.1)

где $[\epsilon_{\text{изм}}] = 50$ мкм = 0,05мм — погрешность измерения контролируемого параметра [12]

Межцентровое расстояние 140±0,02

 $K_1 = 0.8$ – коэффициент, учитывающий наличие отклонений базовых поверхностей.

 $\epsilon_{\text{Бк}}$ — погрешность базирования - зависит от диаметра установочного пальца

Диаметр пальца Ø110 H6

$$\varepsilon_{\delta} = 0.51\delta + 0.5$$

где $\delta_I = 0.016$ мм - допуск на базовое отверстие [JT6];

 $\delta_2 = 0.011$ мм - допуск на оправку [JT5];

$$\varepsilon_{\delta} = 0.5 \times 0.016 + 0.5 \times 0.011 = 0.0645$$
mm

 $\varepsilon_{3k} = 0$ – погрешность закрепления (отсутствует усилие зажима)

 $K_2 = 0.6$ — поправочный коэффициент, учитывающий влияние доли погрешностей $\varepsilon_{\rm bk}$ и $\varepsilon_{\rm k}$ в суммарной погрешности измерения

 $\omega_{\scriptscriptstyle \rm H3M}$ – экономическая точность измерения данным методом

$$\omega_{\text{\tiny H3M}} = 0.019 \quad [12]$$

$$[\epsilon_{\text{пр.к}}] = 0.05 - (0.8 \times 0.039 + 0 + 0.6 \times 0.019) = 0.0074 \text{ mm}$$

Проектируемое контрольное приспособление удовлетворяет всем требованиям.

7 Проектирование средств автоматизации

Расчет механизма изменения скорости салазок

Для повышения быстроходности станка и повышения его технологических возможностей необходимо спроектировать механизм для изменения скорости салазок в 3,5 раза в сторону повышения.

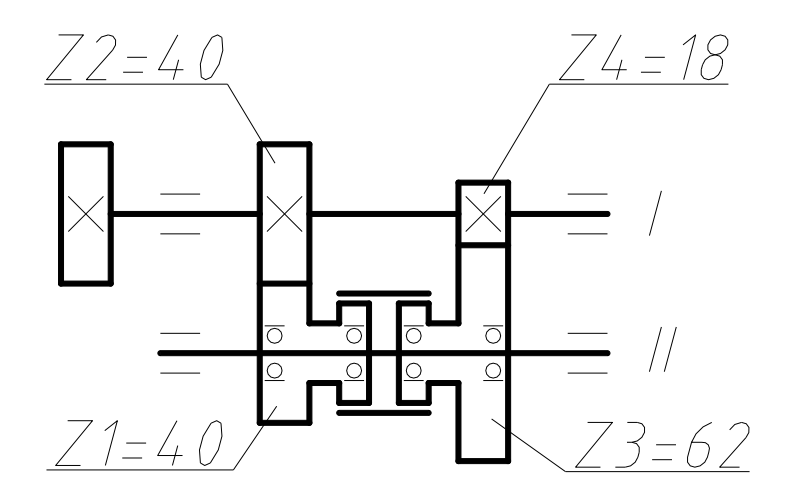


Рисунок 7.1 - Кинематическая схема механизма изменения скорости салазок

Передаточное число передачи Z1-Z2 U1 = 1, передаточное число передачи Z3-Z4 U2 = 0,3.

Для изготовления зубчатых колес применяются стали с твердостью материала ≤ 350 HB. Так как в причиненные нет особых требований к размерам передачи, выбираем материал со средними механическими характеристиками

Для шестерни - Сталь 40X ГОСТ 4543-81 твердость > 45 HRC

Для колеса - Сталь 40Х ГОСТ 4543-81 твердость ≤ 350 НВ

Разница средних жесткостей HB1cp - HB2cp > 70

Механические свойства стали 40Х [5]

Для шестерни твердостью 45 ... 50 HRC Термообработка - улучшением и закалка СВЧ, Твердость 269 ... 302 HB;

Средняя твердость зубьев шестерни HRCcep1 = $(45\ 50)$ / 2 = 47.5 и колеса HB cep2 = $(269\ 302)$ / 2 = 285.5 для колеса - улучшение, твердость HB 200.

Расчет допустимых контактных напряжений

Допустимые контактные напряжения при расчетах на прочность находятся отдельно для зубьев шестерни и колеса

Коэффициент долговечности

$$K_{HL} = \sqrt[6]{\frac{N_{HO}}{N}} \tag{7.1}$$

где Nно-число циклов изменения напряжения, которое соответствует предела выносливости [5].

N-число циклов изменения напряжения за все время службы.

$$N = 573 \times \omega \times Lh \tag{7.2}$$

где ω - угловая скорость соответствующего вала.

Для шестерни

$$N1 = 573 \times \omega \ 1 \times Lh = 573 \times 96.34 \times 30 \times 103 = 1656 \times 106 \tag{7.3}$$

Для колеса

$$N2 = 573 \times \omega \ 2 \times Lh = 573 \times 19,3 \times 30 \times 103 = 331,7 \times 106 \tag{7.4}$$

При средней твердости поверхности зубьев шестерни 47.5 HRC

 $NHO1 = 69.9 \times 106$

колеса HB cep2 = 285.5 NHO2 = 22.5×106

Так как N1 > NHO1 и N2 > NHO2, то примем

$$K HL1 = 1.0 и K HL2 = 1.0 [5]$$

Допустимое контактное напряжение [σ] НО, что соответствует границе контактной выносливости при числе циклов изменения напряжения NHO [5].

Для шестерни [σ] HO1 = 14 HRCcp1 170 = 14 × 47.5 170 = 835 МПа

Для колеса [σ] HO2 = 1,8 HBcp2 67 = 1,8 × 285.5 67 = 580,9 МПа

Допустимые контактные напряжения для зубьев шестерни и колеса.

$$[\sigma]$$
 H1 = K HL1 $[\sigma]$ HO1 $[\sigma]$ H2 = K HL2 $[\sigma]$ HO2 $[5]$

Для шестерни [σ] H1 = 1.0 × 835 = 835 МПа

Для колеса [σ] H2 = 1.0 × 580,9 = 580,9 МПа

Зубчатые цилиндрические косозубые передачи при HB1cp-HB2cp ≥ 70 и твердости зубьев колеса ≤ 350 HB рассчитывают по среднему допустимом контактном напряжении

$$[\sigma] H = 0.45 ([\sigma] H1 [\sigma] H2)$$
 (7.5)

$$[\sigma] H = 0.45 (835 580.9) = 637.2 \text{ M}\Pi a$$

При этом условие [σ] H = 637.2 \leq 1,23 [σ] H2 = 714,5 МПа выполнено

Определение допустимых напряжений на изгиб

Проверочный расчет зубчатых передач на напряжение гибки выполняется отдельно для зубьев шестерни и колеса по допустимым напряжениям сгибание [σ] F1 и [σ] F2

Коэффициент долговечности

$$K_{FL} = \sqrt[6]{\frac{N_{FO}}{N}} \tag{7.6}$$

где NFO - 4.0×106 число циклов изменения напряжения, для всех сталей соответствующих предела выносливости [5].

N-число циклов изменения напряжения за все время службы.

 $N1 = 1656 \times 106; \ N2 = 331,7 \times 106$ циклов что больше NFO = 4.0 × 106, поэтому

$$K FL1 = K FL2 = 1,0 [5]$$

Допустимое напряжение гибки, что соответствует числу циклов изменения напряжения NFO [5]

Для шестерни [σ] F01 = 310 МПа в предположении, что m < 2.0 мм

Для колеса [
$$\sigma$$
] F02 = 1,03 HBcp2 = 1,03 \times 285,5 = 294 МПа

Допустимые напряжения гибки для зубьев шестерни и колеса

$$[\sigma]$$
 F1 = K FL1 $[\sigma]$ FO1 $[\sigma]$ F2 = K FL2 $[\sigma]$ FO2 $[5]$

$$[\sigma] F1 = 310 \text{ M}\Pi a, [\sigma] F2 = 294 \text{ M}\Pi a$$

Расчет модуля сцепления будем выполнять пользуясь меньшим значением допустимого напряжения гибки, а именно [σ] F = [σ] F2 = 294 МПа

Таблица 7.1 Механические характеристики материалов зубчатой передачи

Элемент	Марка	Термообробка	HRC _{cp1}	[σ] _H	[σ] _F
передачи	стали		HB _{cp2}	МПа	
Шестерня	40X	Улучшение (У)	47.5	35	310
Колесо	40X	Улучшение и закалка (У+ТВЧ)	285.5	580,9	294

Расчет зубчатой передачи Z1-Z2

Определение межцентрового расстоянии [1]

$$a_{w} = Ka(U+1)\sqrt[3]{\frac{T_{2} \times 10^{3}}{\psi_{a}U^{2}[\sigma]_{H}^{2}}} K_{H\beta}$$
 (7.7)

где Ka = 49,5 - вспомогательный коэффициент для косозубых передачи ψ a = b / aw = 0,285 - коэффициент ширины венца

Uзп = 1,0 - передаточное число цилиндрической передачи;

Р = 15кВт - мощность электродвигателя привода салазок;

n = 1430хв-1 - частота вращения вала электродвигателя привода салазок;

$$T = \frac{30P}{\pi n} = \frac{30 \times 15 \times 10^3}{3.14 \times 1430} = 100,17H_M \tag{7.8}$$

Для расчета принимают Т = 100Нм;

 $[\sigma]$ H = 637,2 МПа-среднее значение допустимого контактного напряжения;

 $K_{\rm H\beta}$ - коэффициент, учитывающий распределение нагрузки по ширине венца для колес с прямым зубом = 1.0

$$a_{w} = 49.5 \times (1.0 + 1) \times \sqrt[3]{\frac{100 \times 10^{3}}{0.285 \times 1.0^{2} \times 637.2^{2}}} \times 1.0 = 94.3 \text{MM}$$
 (7.9)

Полученное значение межцентрового расстояния округляем до ближайшего значения из ряда нормальных линейных размеров и из конструктивных соображений увеличиваем в 1,4 раза.

$$aw = 140 \text{ MM} [11]$$

Модуль сцепления зубчатой передачи

Модуль зубчатой передачи вычисляем по формуле [11]:

$$m = K_m \sqrt[3]{\frac{Y_F K_{F\beta} T_1}{z_1^2 \psi_{bd} [\sigma_F]}}$$

$$(7.10)$$

где Кт = 14 - коэффициент;

YF = 3,7 - коэффициент, зависящий от числа зубьев шестерни;

 $KF\beta = 1$ - коэффициент, зависящий от ψ bd и типа передачи;

Т1 = 100,17 Нм - крутящий момент на шестерне;

z1 = 40 - число зубьев шестерни;

wbd - коэффициент ширины венца, равен;

 $\psi bd = 0.5 \ \psi ba \ (u \ 1) \ [11]$

где: ψ ba = 0,3 - коэффициент ширины венца;

u = 1 - передаточное число передачи.

$$\psi bd = 0.5 \times 0.3 \times (1 \ 1) = 0.3$$

$$\left[\sigma_F\right] = K_{FL} K_{Fc} \frac{\sigma_{F \, \text{lim}b}}{s_F} \tag{7.11}$$

где: KFL = 1 - коэффициент долговечности;

КFc = 0,75 - коэффициент, зависящий от типа нагрузки;

 σ F lim b = 600МПа - предел выносливости;

sF = 2 - коэффициент безопасности.

$$[\sigma_F] = 1 \times 0.75 \times \frac{600}{2} = 225M\Pi a$$
 (7.12)

Итак:

$$m = 14 \times \sqrt[3]{\frac{3,7 \times 1 \times 100,17 \times 10^3}{40^2 \times 0,3 \times 225}} = 3,17 \text{MM}$$
 (7.13)

Согласно стандартному ряду значения модуля с учетом того, что твердость шестерни > 45 HRC, и по конструктивным соображениям принимаем $m=3,5\ \text{мм}$

Таблица 7.2 - Расчет параметров цилиндрической зубчатой передачи.

Диаметр	Формула для расчета	Расчет
Делительный Шестерни	$d_1 = mZ_1$	$d_1 = 3.5 \times 40 = 140$ mm
колеса	$d_2 = mZ_2$	$d_2 = 3.5 \times 40 = 140$ mm
Вершины зуба Шестерни	$d_{a1} = d_1 + 2m$	$d_{a1} = 140 + 2 \times 3,5 = 147 \text{MM}$
колеса	$d_{a2} = d_2 + 2m$	$d_{a2} = 140 + 2 \times 3,5 = 147 \text{MM}$
Впадины зуба Шестерни	$d_{f1} = d_1 - 2.4m$	$d_{f1} = 140 - 2,4 \times 3,5 = 131,6$ mm
колеса	$d_{f2} = d_2 - 2.4m$	$d_{f2} = 140 - 2,4 \times 3,5 = 131,6 \text{ MM}$
Ширина венца Шестерни	$b_1 = b_2 + (24)$	$b_1 = 40 + (24) = 43$ <i>MM</i>
колеса	$b_2 = \psi_a \times a_w$	$b_2 = 0.285 \times 140 = 40$ мм

Проверка межцентрового расстояния

$$a_{W} = \frac{d_{1} + d_{2}}{2} = \frac{140 + 140}{2} = 140 \text{MM}$$
 (7.14)

Проверка контактных напряжений [11]

$$\sigma_{H} = \frac{310}{a_{w}} \sqrt{\frac{M_{o6} K_{H} (u+1)^{3}}{b u^{2}}} \le [\sigma_{H}]$$
 (7.15)

где Aw - межцентровое расстояние, мм;

Моб - вращающий момент, Нмм;

$$K_H = 1.0 \text{ x } 1.35 \text{ x } 1.1 = 1.485$$

$$[\sigma_H] = \frac{\sigma_{H \, \text{lim}b} K_{HL}}{[S_H]} \tag{7.16}$$

где $\sigma_{H \, \text{lim} b} = 18 \text{HRC} + 150 = \text{предел контактной выносливости при базовом}$ числе циклов, МПа;

 $K_{H\!L} = 1$ - коэффициент долговечности;

 $[S_{H}] = 1,1$ - коэффициент безопасности.

$$[\sigma_H] = \frac{(18 \times 40 + 150) \times 1}{1,1} = 790 M\Pi a \tag{7.17}$$

$$\sigma_{H} = \frac{310}{140} \sqrt{\frac{100,17 \times 10^{3} \times 1,485 \times (1+1)^{3}}{40 \times 1^{2}}} = 382M\Pi a \le [\sigma_{H}]$$

8 Безопасность и экологичность проекта

8.1 Конструктивно-технологическая характеристика объекта

Таблица 8.1 - Паспорт технического объекта

Технический	Операция	Должность	Технологиче	Использу
и/или	технологическ	работающего,	ское	емые
технологически	ого процесса	который будет	оборудовани	материал
й процесс	и/или вид	выполнять	е и/или	ы и/или
	предлагаемых	предлагаемый	техническое	вещества
	работ	технологически	приспособле	
		й процесс и/ил	ние,	
		операцию	устройство	
Точение	Токарная	Оператор	Токарный	Металл,
	операция	станков с	многошпинд	СОЖ
		программным	ельный	
		управлением	станок	
			1Б284	
Зубофрезерован	Зубофрезерна	Оператор	Зубофрезеро	Металл,
ие	я операция	станков с	вальный	СОЖ
		программным	полуавтомат	
		управлением	53A30	
Зубозакруглени	Зубозакругля	Оператор	Зубозфрезер	Металл,
e	ющая	станков с	ный станок	СОЖ
	операция	программным	5H582	
		управлением		

8.2 Идентификация профессиональных рисков

Таблица 8.2 – Риски в профессиональной деятельности

Производственный	Источник вредного
	производственного
опасный фактор	фактора и/или
	опасного
	производственного
	фактора
Движущиеся	Токарный
машины и	многошпиндельный
механизмы;	станок 1Б284
повышенная	
температура	
поверхностей	
оборудования,	
материалов;	
повышенный	
уровень шума на	
рабочем месте;	
монотонность	
труда	
Движущиеся	Зубофрезерный
машины и	полуавтомат 53А30
механизмы;	
повышенная	
температура	
поверхностей	
E C N I T C N I T T V N I T T	Движущиеся имеханизмы; повышенная температура поверхностей оборудования, материалов; повышенный провень шума на рабочем месте; монотонность труда Движущиеся машины имеханизмы; повышенная температура

оборудования,	
материа пов:	
материалов;	
повышенный	
уровень шума на	
рабочем месте;	
монотонность	
труда	
Зубозакругляющая Движущиеся Зубофрезе	рный станок
операция машины и 5Н582	
механизмы;	
повышенная	
температура	
поверхностей	
оборудования,	
материалов;	
повышенный	
уровень шума на	
рабочем месте;	
монотонность	
труда	

8.3 Методы и технические средства снижения профессиональных рисков Таблица 8.3 — Мероприятия направленные на снижение уровня опасных и вредных производственных факторов

Вредный	Технические средства	СИЗ
производственный фактор	защиты, организационно-	работающего
и/или опасный	технические методы	
производственный фактор	частичного снижения,	
	полного устранения	

	вредного	
	производственного фактора	
	и/или опасного	
	производственного фактора	
Движущиеся машины и	Регламентированная	Очки, каска
механизмы	процедура по охране труда	
Повышенная температура	Соблюдение техники и	Очки, каска,
поверхностей	правил безопасности при	краги
оборудования, материалов	выполнении работ	
Повышенный уровень	Антишумовая обработка	Беруши
шума на рабочем месте	участка обработки	

8.4 Обеспечение пожарной и техногенной безопасности рассматриваемого технического объекта (производственно-технологических эксплуатационных и утилизационных процессов

Таблица 8.4 – Идентификация классов и опасных факторов пожара

Производст	Используемо	Номер пожара	Опасные	Сопутствующие
венный	e		факторы при	проявляющиеся
участок	оборудовани		пожаре	факторы при
и/или	e			пожаре
производст				
венное				
подразделе				
ние				
Участок	Токарный	Пожары,	Тепловой	Вынос (замыкание)
обработки	многошпинд	связанные с	поток	высокого
детали	ельный	воспламенени		электрического
	станок	ем и горением		напряжения на
	1Б284,	жидкостей		токопроводящие

зубофрезерн	или	части
ый	плавящихся	технологических
полуавтомат	твердых	установок,
53A30,	веществ и	оборудования,
зубофрезерн	материалов	агрегатов, изделий
ый станок	(B)	и иного имущества
5H582		

Таблица 8.5 - Выбор средства пожаротушения

Перви	Мобил	Стаци	Средств	Пожар	Средства	Пожарны	Пожарн
чные	ьные	онарн	a	ное	индивиду	й	ые
средст	средст	ые	пожарно	оборуд	альной	инструме	сигнали
ва	ва	устано	й	ование	защиты и	НТ	зация,
пожар	пожар	вки	автомат		спасения	(механизи	связь и
отуше	отуше	систем	ики		людей	рованный	оповеще
ния	ния	Ы			при	И	ние
		пожар			пожаре	немехани	
		отуше				зированн	
		РИЯ				ый)	
пожар	Пожар	Обору	Приемн	Напор	Веревки	Топоры,	Извещат
ные	ные	довани	0-	ные	пожарные	ломы,	ели
краны	специа	e	контрол	пожар	,	багры,	
,	льные	специа	ьные	ные	противога	лопаты	
огнет	автомо	льное	пожарн	рукава	зы.		
ушите	били	для	ые				
ли,		пенног	прибор				
ящики		o	ы				
c		пожар					
песко		отуше					
M		кин					

Таблица 8.6 – Средства обеспечения пожарной безопасности

Название техпроцесса,	Вид предлагаемых к	Нормативные требования
применяемого	реализации	по обеспечению пожарной
оборудования, которое	организационных	безопасности, а также
входит в состав	и/или	реализуемые эффекты
технического объекта	организационно-	
	технических	
	мероприятий	
Токарная операция,	Проведение	Запрет на курение,
токарный	регламентированных	соблюдение мер пожарной
многошпиндельный	процедур	безопасности при
станок 1Б284		проведении огневых работ

8.5 Обеспечение экологической безопасности рассматриваемого технического объекта

Таблица 8.7 – Определение экологически опасных факторов объекта

Название	Структурные	Экологичес	Экологическо	Экологическое
техническ	элементы	кое	е негативное	негативное
ого	технического	негативное	воздействие	воздействие
объекта	объекта и/или	воздействи	рассматривае	рассматриваемо
и/или	производственн	e	мого	го технического
производс	ого техпроцесса	рассматрив	технического	объекта на
твенного	(производствен	аемого	объекта на	литосферу
техпроцес	ного	техническо	гидросферу	(недра, почву,
ca	сооружения или	го объекта	(забор воды из	забор
	производственн	на	источников	плодородной
	ого здания по	атмосферу	водяного	почвы,
	функционально	(опасные и	снабжения,	растительный

			a=a	
	му назначению,	вредные	сточные воды)	покров, порча
	операций	выбросы в		растительного
	техпроцесса,	воздух)		покрова,
	технического			землеотчужден
	оборудования),			ие и
	а также			образование
	энергетической			отходов и т.д.)
	установки,			
	транспорта и			
	Т.П.			
Точение,	Токарный	Пыль	Взвешенные	Основная часть
зубообраб	многошпиндель	металличес	вещества и	отходов должна
отка	ный станок	кая	нефтепродукт	храниться в
	1Б284,		ы	металлических
	зубофрезерный			контейнерах
	полуавтомат			_
	53A30,			
	зубофрезерный			
	станок 5Н582			

Таблица 8.8 — Разработанные (дополнительные и/или альтернативные) организационные и технические мероприятия для снижения антропогенного негативного воздействия

Наименование	Токарная операция
технического	
объекта	
Предлагаемые	Модернизация фильтрующих элементов в вытяжных
мероприятия для	трубах
снижения	

негативного	
антропогенного	
воздействия на	
атмосферу	
Предлагаемые	Применение песковых площадок, биологических
мероприятия для	фильтров, флотационных установок, отстойников
снижения	
негативного	
антропогенного	
воздействия на	
гидросферу	
Предлагаемые	Разработка регламентированных процедур по обращению
мероприятия для	с отходами
снижения	
негативного	
антропогенного	
воздействия на	
литосферу	

8.6 Заключение по разделу «Безопасность и экологичность проекта»

В данном разделе исследован разработанный технологический процесс с точки зрения безопасности и экологичности. Выявлены опасные и вредные производственные факторы. Разработаны меры по их снижению. Разработаны меры по снижению пожарной опасности. Разработаны меры по сохранению экологии и окружающей среды.

9 Экономическая эффективность проекта

Задача раздела — технико-экономическое сравнение двух вариантов технологического процесса (базового и проектного) и определение экономической эффективности проектируемого варианта.

Для выполнения данного раздела необходимо краткое описание изменений технологического процесса изготовления детали, по вариантам, чтобы обосновать экономическую эффективность, внедряемых мероприятий. Основные отличия по сравниваемым вариантам представлены в качестве таблицы 9.1.

Таблица 9.1 – Отличительные особенности сравниваемых вариантов технологических процессов изготовления детали

Базовый вариант	Проектируемый вариант
O copy do bahue - Texhoлогическое оборудование.	Obopydobahue — модернизированное технологическое оборудование. $Ochacmka$ — спроектированные станочные приспособления. $Ochacmka$ — совершенствованный режущий инструмент. $Ochacmka$ —

Описанные в таблице 9.1 условия являются исходными данными для определения цены на оборудование, оснастку и инструмент, необходимые для проведения экономических расчетов, с целью обоснованности внедрения предложенных изменений. Однако, представленной информации для правильного выполнения раздела будет не достаточно, так как необходимо знание следующих величин:

– программа выпуска изделия, равная 100000 шт.;

- материал изделия, масса детали и заготовки, а также способ получения заготовки, которые влияют на величину расходов основного материала. Однако, если проектным вариантом ТП не предусмотрено изменение параметров заготовки или детали, то определять данную статью не целесообразно, так как не зависимо от варианта, величина будет одинаковой и на разницу между сравниваемыми процессами оказывать влияние не будут;
- нормативные и тарифные значения, используемые для определения расходов на воду, электроэнергию, сжатый воздух и т.д.;
- часовые тарифные ставки, применяемые при определении заработной платы основных производственных рабочих.

Для упрощения расчетов, связанных с проведением экономического обоснования, совершенствования технологического процесса предлагается использовать пакет программного обеспечения Microsoft Excel. Совокупное использование данных и соответствующей программы позволит определить основные экономические величины, рассчитываемые в рамках поставленных задач и целей. Согласно алгоритму расчета, применяемой методики [24], первоначально следует определить величину технологической себестоимости, основой дальнейших которая является ДЛЯ расчетов. Структура технологической себестоимости, по вариантам, представлена в виде диаграммы на рисунке 9.1.

Анализируя представленный рисунок, можно наблюдать уменьшающую тенденцию по затратам, входящим в технологическую себестоимость, что дает право сделать предварительное заключение об эффективности предложений. Однако, для вынесения окончательного выводы, необходимо еще провести ряд соответствующих расчетов.

Учитывая основные отличия проектируемого технологического процесса, определим размер необходимых инвестиций для внедрения. Согласно описанной методике расчета капитальных вложений [24], данная величина составила 3902052,1 руб., в состав которой входит весь перечень затрат, необходимый для осуществления совершенствования ТП.

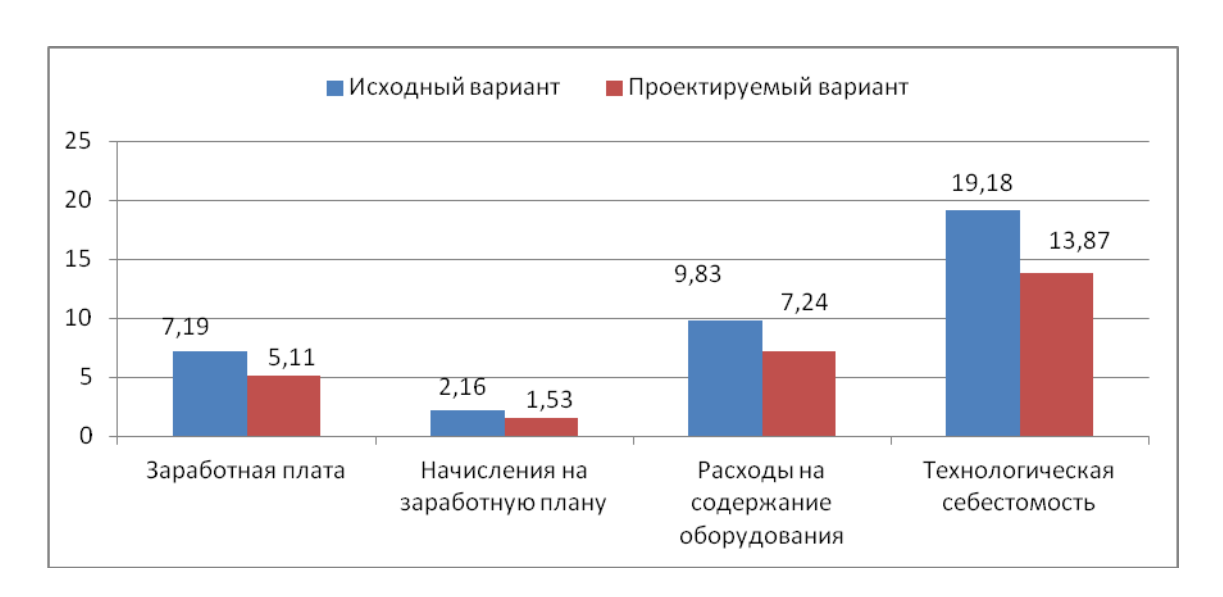


Рисунок 9.1 – Структура технологической себестоимости изготовления изделия, руб.

Далее выполним экономические расчеты по определению эффективности предложенных внедрений. Применяемая методика расчета [24], позволяет необходимые величины, такие как: чистая прибыль, окупаемости, общий дисконтируемый доход и интегральный экономический эффект. Анализ описанных значений позволит сделать обоснованное заключение о целесообразности внедрения. Все значения, полученные, при использовании описанной методики, представлены в таблице 9.2.

Таблица 9.2 – Результаты показателей эффективности внедрения предложений

No	Наименование показателей	Условное обозначение, единица измерения	Значение показателей
1	Чистая прибыль	П _{чист} , руб.	1033600
2	Срок окупаемости инвестиций	T_{OK} , лет	5
3	Общий дисконтированный доход	Д _{общ,диск} , руб.	4474454,4
4	Интегральный экономический эффект	Э _{ИНТ} = ЧДД, руб.	572402,32
5	Индекс доходности	ИД, руб.	1,15

При анализе представленных значений, особенно внимание необходимо уделять сроку окупаемости, величине чистого дисконтированного дохода и

индекса доходности. Все описанные параметры имеют значения, которые подтверждают эффективность внедрения описанного технологического проекта.

Получена положительная величина интегрального экономического эффекта — 572402,32 руб. Рассчитано значение срока окупаемости — 5 лет, который можно считать оптимальной величиной для машиностроительного предприятия. И наконец, индекс доходности (ИД), который составляет 1,15 руб./руб., что относиться к рекомендуемому интервалу значений этого параметра.

Данные значение позволяют сделать окончательное заключение о том, что внедряемый проект можно считать эффективным.

ЗАКЛЮЧЕНИЕ

В дипломном проекте был разработан технологический процесс изготовления шестерни коробки скоростей фрезерного станка МЕСОF, выбран способ получения заготовки, рассчитаны режимы резания. Также была проведена модернизация продольно-фрезерного станка CS200 системы МЕСОF с числовым программным управлением с целью повышения производительности.

Продольно-фрезерный станок CS200 системы MECOF с числовым программным управлением принадлежит к тяжелым одностоечным продольнофрезерным станкам с подвижной стойкой, в которых основные и вспомогательные движения передаются инструменту (фрезе). Это дает возможность обрабатывать крупногабаритные детали за одну установку, что позволяет значительно повысить точность обработки за счет значительного уменьшения погрешности базирования.

Для повышения производительности работы станка в дипломном проекте предлагается повысить скорость перемещения салазок за счет механизма изменения скорости салазок, который позволяет повысить скорость в 3,5 раза.

Были выполнены проектные и проверочные расчеты, расчеты на прочность и жесткость всех разрабатываемых узлов.

СПИСОК ИСПОЛЬЗОВАННОЙ ЛИТЕРАТУРЫ

- 1 Автоматизация процессов в машиностроении. Учебное пособие для вузов [Текст]. А.П. Белоусов, А.И. Дащенко, П.М. Полянский и др.; изд. М., «Высшая школа», 1973, 456 с.
- 2 Боровик, А.И. Проектирование технологической оснастки [Текст] / А.И. Боровик К.: ИЗМН, 1996. 136с.
- 3 Вардашкин, Б.Н. Станочные приспособления [Текст] / Б.Н. Вардашкин, А.А. Шатилов М.: Машиностроение, 1984. 656с.
- 4 Геллер, Ю.А. Материаловедение [Текст] / Ю.А. Геллер, А.Г. Рахштадт М.: Машиностроение, 1984. 455с.
- 5 Гидравлика, гидромашины и гидроприводы [Текст] / учебник для машиностроительных ВУЗов / Т.М. Башта, С.С.Руднев, Б.Б. Некрасов М: Машиностроение, 1982. 423с.
- 6 Конвейеры справочник. [Текст]; Справочник/ Р.Л. Зенкова, А.Н. Гнутов, В.К. Дьячков, Ю.А. Пертен и др.; Под общей ред. Ю.А. Пертена. Изд.: Машиностроение, Ленингр. отделение, 1984, 367 с., с ил.
- 7 Металлорежущие станки (альбом общих видов, кинематических схем и узлов). [Текст] Кучер А.М., Киватицкий М.М., Покровский А.А. Изд-во «Машиностроение», 1972, стр. 308.
- 8 Общемашиностромтельные нормативы режимов резания [Текст]: Справочник: В 2-х т. А.Д. Локтев, И.Ф. Гущин, В.А. Батуев и др.: Т.1-М.: Машиностроение, 1991-640с.: ил.
- 9 Общемашиностроительные нормативы режимов резания [Текст]: Справочник: В 2-х тю А.Д. Локтев, И.Ф. Гущин, В.А.Батуев и др.: Т.2-М.: Машиностроение, 1991-304с.:ил.
- 10 Проектирование технологических процессов механической обработки в машиностроении [Текст]: Учеб. пособие /В.В. Бабук, А.И. Шкред, Г.П. Кривко, А.И. Медведев. Под ред. В.В. Бабука.-Мн.: Выш. Шк., 1978. 255с.:ил.

- 11 Родин, П.Р. Металлорежущие инструменты [Текст]: Учебник для вузов.-2-е изд., перераб. и доп.-Киев. Вища школа. Головное изд-во, 1979.-432с.
- 12 Механизация и автоматизация универсальных металлорежущих станков [Текст]. Малов А.Н. М., Машиностроение, 1969, стр.520.
- 13 Проектирование машиностроительных цехов [Текст]. Кричмар изд. 1976
- 14 Элементы гидропривода [Текст]; Справочник/ Е.И. Абрамов, К.А. Колесниченко, В.Т. Маслов. Изд. 2-е, перераб. и доп Киев, «Техника», 1977. 320с.
- 15 Справочник техника-конструктора [Текст] / Я.А. Самохвалов и др. К.: Техника, 1978. 592с.
- 16 Филонов, И.П. Проектирование технологических процессов в машиностроении [Текст] / И.П. Филонов Минск, УП ТЕХНОПРИНТ, 2003. 909с.
- 17 Кряжев, Д.Ю. Фрезерная обработка на станках с ЧПУ. Учеб. Пособие, версия 0.1. / Д.Ю. Кряжев. С.-Петербург: Ирлен инжиниринг, 2005. 41 с.
- 18 Кузнецов, Ю.М. Оснастка ля станков с ЧПУ: Справочник. 2-е изд., перераб. и доп. / Маслов, А.Р., Байков, А.Н. М.: Машиностроение, 1990. 512 с.
- 19 Босинзон, М.А. Современные системы ЧПУ и их эксплуатация: учебник для нач. проф. образования / М.А. Босинзон; под. ред. Б.И.Черпакова. М.: Издательский центр «Академия», 2006. 192 с.
- 20 Рыбалко, А.П. Новое направление в развитии систем ЧПУ на основе компьютеризованных электроприводов переменного тока / Рыбалко А.П. (г. Москва, Россия) // 11-я Международная научно-техническая конференция «Физические и компьютерные технологии». International scientific and technical conference. Харьков, 2005.
- 21 Рыбалко, А.П. Система встроенной технологической диагностики для современных шлифовальных станков с ЧПУ / Рыбалко А.П., Ларшин В.П., (г. Москва, Россия, г. Одесса) // 11-я Международная научно-техническая

- конференция «Физические и компьютерные технологии». International scientific and technical conference. Харьков, 2005.
- 22 Базров, Б.М. Концепция совершенствования системы допусков и посадок / Б.М. Базров // Справочник. Инженерный журнал. 2002. №2.
- 23 Адаптивное управление станками / Под ред. Б.С. Балакшина. М.: Машиностроение, 1973. 688 с.
- 24 Зубкова, H.B. Методические указания экономическому ПО обоснованию курсовых работ И дипломных ПО совершенствованию технологических процессов механической обработки деталей [Текст] / Н.В. Зубкова – Тольятти : ТГУ, 2005.
- 25 Горина, Л. Н. Раздел выпускной квалификационной работы «Безопасность и экологичность технического объекта». Уч.-методическое пособие. [Текст]/ Л. Н. Горина Тольятти: изд-во ТГУ, 2016. 33 с.
- 26 Takata, S. 1989. A cutting simulation system for machinability evaluation using a workpiece model / S.Takata // Anals CIRP. 1989. 38(1). p. 417–420.
- 27 Vafaeesefa, A. Accessibility analysis in 5- axis machining of sculptured surfaces / A. Vafaeesefa, H. Elmaraghy // In Proceedings of the 1998 IEEE International Conference on Robotics & Automation. 1998. p. 2464–2469.
- 28 Combined physico-chemical treatment: synergetic aspects / A.I. Gordienko, M.L. Kheifetz, L.M. Kozhuro et al. Minsk: Technoprint, 2004. 200 p.
- 29 Golabczak, A. Selected problems of electrochemical and electrodischarge dressing of grinding wheels with metal bond / A. Golabczak // Proceeding of the ISEM XIII. vol. II. –Bilbao. 2001. p. 851-868.
- 30 Schopf, M. New Method for Trueing and Dressing of Metal-Bonded Diamond Grinding Tools / M. Schopf, I. Beltrami, M. Boccadoro, D. Kramer // ECDM (Electro Chemical Discharge Machining) in Annals of the CIRP. vol. 50/1. 2001. p. 125-128.

ПРИЛОЖЕНИЕ А

фармал	John Mas.	Обозначение	Наименование	У Прим чани
	20 6 75		Документация	
A1		17.5P.07.032.61	Сборочный чертеж	
			Сборочные единицы	
	1	17.5P.07.032.61.001	Муфта подвода воздуха	1
			<u>Детали</u>	
+				
δ/4	4	17.5P.07.032.61.004	Втулка	1
δ/4	5	<i>17.5P.07.032.61.005</i>	Крышка	1
δ/4	6	<i>17.5P.07.032.61.006</i>	Втулка	1
δ/4	7	<i>17.5P.07.032.61.007</i>	Προδκα	1
δ/4	8	17.5P.07.032.61.008	Γαὖκα	1
δ/4	9	<i>17.5P.07.032.61.009</i>	Зажим	1
δ/4	10	17.5P.07.032.61.010	ОСЬ	1
δ/4	11	17.5P.07.032.61.011	Шайба	1
δ/ч	12	17.5P.07.032.61.012	Тяга	1
δ/ч	13	<i>17.5P.07.032.61.013</i>	Стойка	1
δ/4	14	17.5P.07.032.61.014	Шток	1
δ/4	1 5	17.5P.07.032.61.015	Оправка	1
δ/4	16	17.5P.07.032.61.016	Тяга	1
δ/4	17	<i>17.5P.07.032.61.017</i>	Фланец	1
Щ	1,	<u> </u>		
Изм/		№ докум. Подп. Дата	17.БР.О7.О32.С	
Разра Пров.	/	Новак И.П. Гуляев В.А.	риспособление Фрезерования Т	
Н.коні Утв.		Виткалов В.Г.	фрезерования 📙	ГУ, ТМз-11

Формат	3040	7,03.	Обозначение	Наименование	Кол.	Прим чани
δ/4		18	17.5P.07.032.61.018	Втулка	2	
δ/ч	310	19	17.5P.07.032.61.019	Крышка	1	
δ/4		20	17.5P.07.032.61.020	Корпус	1	
δ/ч		21	17.5P.07.032.61.021	Поршень	1	
δ/ч		22	17.5P.07.032.61.022	Кольцо	1	
δ/ч		23	17.5P.07.032.61.023	Сухарь	3	
		· · · · · · · · · · · · · · · · · · ·		Стандартные изделия		
5.	- 48	-		стиноиртные изиетия	92.5:	
δ/4	58	26		Болт M12x25 ГОСТ 4751-73	2	
δ/4		27		Болт М6х20.105 ГОСТ 7798-70	1	
δ/4	_	28		Болт 7002-2590 ГОСТ 13152-67	3	
δ/4		29		Винт М8х30.105 ГОСТ 1476-84	1	
<i>δ/</i> 4		30		Винт М8х28 ГОСТ 1479-84	1	
				Винт ГОСТ 11738-78		
δ/ч		31		M8x20	6	
δ/4		32		M10x20.105	3	
δ/4		33		M10x25	6	
δ/4		34		M12x30	6	
δ/ч		35		Гайка M20 ГОСТ 5927-70	3	
δ/4		36		Гайка М45х1,5.05 ГОСТ 11871-73	1	
				Кольцо ГОСТ 9833-73	- 03 2	
δ/ч		37		042-047-30	3	
δ/4		38		245-250-85-2-4	1	
δ/ч		39		Кольцо 65 ГОСТ 13943-86	1	
					22.0	
				17.5P.07.032.61		

формат	ЭОНОЕ	703.	Обозначение	Наименование	Kon.	Приме чание
				Манжета ГОСТ 8752-79	0.0	
б/ч		40		1-20-45	1	
δ/4		41		1-30-250	2	
-				Шайδа ГОСТ 6402-70		
<u>δ/</u> 4		42		Шайба 8	9	
δ/ч		43		Шайба 10	6	
δ/ 4		44		<u>Шайба 20 ГОСТ 11371-78</u>	3	
δ/4		45		Шайба 45.01.05 ГОСТ 11738-84	1	
8/4		46		Муфта 10 06824	2	
δ/ч		47		Нипель 10x K1/2" Н 06824-75	2	
-				Материалы		
δ/4		50		Труба МЗМ 10x1 900 ГОСТ 617-72	1	
				7.5	77	
		8 8			32 0	
22					38	
					,	
Изм		ист № докц	ім. Подп. Дата	<i>17.6P.07.032.61</i>		12

фармат	ЗОНО	1103.	Обозначен	ие Наименован	HUE S Noun
	21 9 15			Документаци	<u>UЯ</u>
A1	8142	- 14	17.БР.07.032.62	Приспособление для кон	<i>нтроля</i>
				Детали	
δ/ч	1	,	17.5P.07.032.62.001	Палец	1
δ/4	Ź	7	17.БР.07.032.62.002	Палец	1
б/ч	3	}	17.БР.07.032.62.003	Плита	1
б/ч	4		17.БР.07.032.62.004	Каретка	1
б/ч	L		17.5P.07.032.62.005	Упор	1
8/4	ť	5	17.5P.07.032.62.006	Кривошип	1
б/ч	,	7	17.5P.07.032.62.007	Палец	1
δ/4	E	3	17.5P.07.032.62.008	Палец	1
б/ч	9	7	17.5P.07.032.62.009	Втулка	2
б/ч	1	0	17.5P.07.032.62.010	Салазки	1
б/ч	1	11	17.5P.07.032.62.011	Шпонка	1
<i>8</i> /4	1	2	17.5P.07.032.62.012	Гайка	4
б/ч	1	13	17.5P.07.032.62.013	Палец	1
б/ч	1	4	<i>17.БР.07.032.62.01</i> 4	Ролик	1
б/ч	1	15	17.5P.07.032.62.015	Рукоятка	1
б/ч	1	6	17.5P.07.032.62.016	Головка	1
б/ч	1	7	<i>17.5P.07.032.62.017</i>	Сухарь	1
Ц		\dashv		45.50.05.03	
Изм.	Λυςι	77 N	[®] докум. Подп. Дата	17. <i>5P.07.03.</i>	2.62
Раз <u>и</u> Пров	οαδ. 3.	Но Гу	овак И.П. ияев В.А.	Приспособление для контроля	Num Nucm Nuch
Н.ко. Утв.		10000	ткалов В.Г. огинов Н.Ю.	оля контроля	TГУ, ТМ3-11

формат	ЭИНЦ Прз.	Обозначение	Наименование	Kon.	Приг чани
δ/4	18	17.5P.07.032.62.018	Ручка	2	
δ/ч	19	17.5P.07.032.62.019	Втулка	1	
δ/ч	20	17.5P.07.032.62.020	Втулка	1	
δ/ч	21	17.5P.07.032.62.021	Палец	1	
δ/ч	22	17.5P.07.032.62.022	Шайба	1	
δ/ч	23	17.5P.07.032.62.023	Кулачек	1	
δ/ч	24	17.5P.07.032.62.024	Палец	1	
δ/ч	25	17.5P.07.032.62.025	Сухарь	10	
δ/ч	26	17.5P.07.032.62.026	Пластина	1	
δ/ч	27	17.5P.07.032.62.027	Гвинт	1	
δ/ч	28	17.5P.07.032.62.028	Пластина	5	
б/ч	29	17.5P.07.032.62.029	Фиксатор	1	
			Стандартные изделия		
			D		
7/	22		Винт ГОСТ 1491-80	10	
δ/4	33		M5x16	10	
δ/4	34		M10x18	41	
			Винт ГОСТ 11738-78	90 De	
б/ч	35		M6x20	1	
δ/ч	36		M8x20	6	
δ/4	37		M10x60	5	
δ/ ₄	38		Винт М4х16 ГОСТ 17475-80	1	
δ/4	39		Винт АМ4х10.46.13		
H	+		ΓΟCT 21331-75	1	
			I 17.5P.07.032.62		

фармап	Прэ	Обозначение	Наименование	Кол.	Приме чание
5/4	40		Гайка M12 ГОСТ 5927-70	1	7500,257453577.4
δ/4	41		Гайка 7003-0302 ГОСТ 8918-69	1	
δ/4	42		Шайба 12 ГОСТ 11371-78	1	
δ/4	43		Шарик 16-10 ГОСТ 3722-81	3	
<i>δ/</i> 4	44		<i>Шпилька М8-6дх40.88.05</i>	10.0	
			ΓΟCT 22039-76	1	
			Штифт ГОСТ 3128-70		
δ/4	45		2.3x12	1	
δ/4	46		2.4x16	5	
δ/ч	47		Корпус 8014-9001/1-16		
9/1			ΓΟCT 37.002.465-86	1	
<i>δ/</i> 4	48		Пружина 7039-9032.32		
0/1	110		TOCT 37.002.0809-80	1	
δ/4	49		Пружина А7039-9218.180		
<i>V/</i> 4	47		FOCT 37.002.0810-80	1	
δ/4	50		Пружина А7039-9222.71	9.5 (5)	
0/ 1	30		ΓΟCT 37.002.0810-80	1	
δ/4	51		7009-0227	1	
δ/4	52		7009-0231	1	
		_			
			/======================================		
Изм	Лист № докц	ум. Падп. Дата	17.6P.07.032.62		•

Формал	ЗОНО	703.	Обозначение	Наименование	о Бо Прил чани
35		3 3		<u>Документация</u>	
A1		43	17.БР.07.032.63	Сборочный чертеж	
y Z				<u>Детали</u>	
δ/ч		1	<i>17.5P.07.032.63.001</i>	Корпус	1
δ/4		2	17.5P.07.032.63.002	Крышка	1
δ/4			17.5P.07.032.62.003	Крышка	1
δ/4	4		17.5P.07.032.62.004	Крышка	1
δ/4			17.5P.07.032.62.005	Крышка	1
δ/4	- 1		17.5P.07.032.62.006	Крышка	1
δ/4		7	17.5P.07.032.62.007	Прокладка	1
δ/4	- 8	3	17.5P.07.032.62.008	Стакан	1
δ/4	3342	9	17.5P.07.032.62.009	Вал	1
<i>δ/</i> 4	i	10	17.5P.07.032.62.010	Вал	1
δ/4	7	11	17.5P.07.032.62.011	Колесо зубчатое	1
δ/4	1	12	17.5P.07.032.62.012	Колесо зубчатое	1
δ/ч	i	13	17.5P.07.032.62.013	Колесо зубчатое	1
δ/ч	i	14	<i>17.5P.07.032.62.01</i> 4	<u> Шестерня-полувмуфта</u>	1
δ/ч	i	15	17.6P.07.032.62.015	Полумуфта	1
δ/ч	í	16	17.5P.07.032.62.016	Полумуфта зубчатая внешняя	1
δ/ч	í	17	<i>17.5P.07.032.62.017</i>	Полумуфта зубчатая внутреняя	1
δ/ч	1	18	<i>17.5P.07.032.62.017</i>	Втулка распорная	1
б/ч	1	19	<i>17.5P.07.032.62.017</i>	Втулка распорная	1
δ/ч	2	20	<i>17.5P.07.032.62.017</i>	Втулка распорная	1
δ/ч	Ž	21	<i>17.5P.07.032.62.017</i>	Втулка распорная	1
Изм	Λυςι	77 N	® докум. Подп. Дата	17.БР.О7.О32.	63
	раб.	На	овак И.П. Иляев В.А. Мех	анизм изменения	TUM. /IUCM /IUC.
H.KL	онтр. в.	100000	ипкалов В.Г. Огинов Н.Ю.	орости салазок 🛭 /	ГГУ, ТМ3-1

Фармат	лил Прз.	Обозначение	Наименование	Кол	Приг чани
δ/ч	22	<i>17.5P.07.032.62.01</i> 4	Втулка распорная	1	
δ/ч	23	17.5P.07.032.62.015	Полукольцо	2	
δ/ч	24	17.5P.07.032.62.016	Шайба	10	
δ/4	25	<i>17.5P.07.032.62.017</i>	Шайба конечная	1	
			Cmaudanmuua uada aya		
	- 55 E - 25		Стандартные изделия	9,8 %	
δ/ч	28		Винт М8х30 ГОСТ 8878-84	8	
0/ 1	20		Винт ГОСТ 11738-78		
δ/4	29		M8x20	32	
б/ч	30		M8x25	5	
δ/ч	31		Гайка М56х2-6Н.05.05		
			ΓΟCT 11871-88	2	
δ/4	32		Кольцо A50 ГОСТ 13940-86	1	
δ/4	33		Кольцо А110 ГОСТ13941-86	1	
<i>U/</i> 9			Подшипник ГОСТ 831-75	7.	
δ/ч	34		Подшипник 46112	2	
δ/ч	35		Подшипник 46114	4	
δ/4	36		Подшипник 46116	2	
δ/4	37		Подшипник 46214	2	
-1	7.0		70.440 5067 0300 75		
δ/4 - '	38		Подшипник 32610 ГОСТ 8328-75	1	
δ/4	39		Шарик Ø16 ГОСТ 8338-75	10	
δ/4	40		<i>Шайба 8 ГОСТ 6402-70</i>	37	
2.0			<i>Шпонка ГОСТ 23360-78</i>		
δ/4	41		14 x 9x 70	1	
					1

an Man Ch	30HG	Лоз	Обозначение	Наименование	Кол.	Приме- чание
				<i>Шпонка ГОСТ 23360-78</i>		
7	/,,	42		20x12x56	1	
δ/ 5.		43		20x12x90	1	
δ/		44			1	
δ/	4	44		22x14x45	1	
	/	45		Причица 7020 2010		
δ/	4	40		Пружина 7039-2019	10	
. -				<i>FOCT 13165-67</i>	10	
7	<i>(</i>	46		Муфта 400-45-1-У3	33	
δ/	4	40		TOCT 14084-93	1	
. -	\perp			1 UL 1 14004-7)	1	
. -	+					
	-	45 45			02 20	
-						
-						
_	╄					
3		100 100			62.8	
=						
		1 1				
-	\dagger	++				
	+	++-				
	+	\vdash				
-	+	H			90, %	
\dashv	+	$\vdash \vdash$				
-		<u> </u>				l lo
				<i>17.5P.07.032.63</i>		//

приложение Б

														L		LOCI	FOCT 3.1118 - 82	Форма	
Дубл.	,,,																		
Взам.	ار								Ш	↦	\vdash	H	П	ш	\Box	\vdash			\vdash
Подл.	ا								N.	Изм Лист	№ докум.	┨	Подп	Дата Р	Изм.	Лист	№ докум.	Подп	Дата
Paspa6.	Г	Новак								L			H						
Провер.	\vdash	Гуляев																	
								Locator	9000		700				200	þ	ŀ	,	-
Н.контр.	нтр.							шестерня корооки скоростей фрезерного станка імістон	ороок	скорос	теи ф	pesepi	HOLO	танка	MECC	JF.		7	I
M01	Стал	CTall 40X FOCT 4543-81	LOCL	4543-	.81														
VEDO		код	E	EB	ΜД	EH	H.pacx.	KMM	Код	Код загот.	Πpο	Профиль и размеры	азмеры		КД	M3			_
2010I			1	M	1,9	1,0		0,487	20 IIITa	20 Штамповка		Ø147×85	85		1	3,9			
A	Пех	Уч Б	PM On	-	Код, наимен	Код, наименование оборудования	рудования					ľ	Эбозна	Обозначение документа	окумен	та			
ц	Код,	наимен	новани	e 060	Код, наименование оборудования	1			$_{\rm CM}$	Проф.	Ь	YT	KP 1	коид	$\mathbf{E}\mathbf{H}$	ПО	Kmr.	Тп.з.	T _{mr.}
03			\vdash																
04			ŏ	500	4110 Токарная	зарная													
05					38 1811	Токарнь	Токарный многошпиндельный станок	пиндельн	ыйстан	10 K									
90						115	15284			токар	3	кол		1	1		1		1,35
07																			
80			0	010	4110 Токарная	карная					-								
60					38 1115	38 1115 Токарный		многошпиндельный станок	ій стан	0K									
10						115	15284			токар	3	кол	-	1	1		1		2,79
11																			
12			0	015	4224 Ал	4224 Алмазно-расточная	сточная												
13					38 1827	Алмазнс	Алмазно-расточной станок	й станок											
14						27	2706П		,	росточ	3	кол	1	1	1		1		1,77
15																			
MK																			1

																	LOCI	FOCT 3.1118 - 82	Форма 16	٥
Дубя.	\parallel					П						-		-						
Взам. Подл.											Изм Ли	JIRCT N	№ докум.	Подп	Дата	Изм.	Лист	№ докум.	Подп	Дата
	-					-						1			1				1	1
																_				
Ą	Цех	Уч Р	PM O	Опер.	K	од, наи	менова	ние об	Код, наименование оборудования					0603	Обозначение	документа	ента			
Б			Κα	од, на	Код, наименование оборудования	ание о	борудо	вания		CM	I Проф.). P	yT	KP	коид	(EH	ПО Н	П Кшт.	T _{n.3.}	T _{mr.}
\mathbf{K}/\mathbf{M}		Ha	имено	вание	Наименование детали, сб. единицы или материала	сб. еди	सम्प्राप्त ह	пи мат	ериала)	Эбозна	Обозначение, код	код		ППО	II EB	В ЕН	КИ	H.pacx.
01			0	070	4224 Алмазно-расточная	Алмаз	но-ра	СТОЧЕ	tas											
02					38 1827		мазно	-pacı	Алмазно-расточной станок)K										
03							27	2706II			расточ	т 4	кох	1	1	1		1		1,55
04																				
05			0	025	4153 Зубофрезерная	убоф	pesepi	ная												
90					38 1500 Зубофрезный	10 3ye	бфре	зный	п/а											
20							53	53A30			Зубофр	р 3	кох	1	1	1		1		30,56
80																				
60			0	030	4153 Зубофрезерная	убоф	pesepi	ная												
10					38 1500 Зубофрезерный	10 3ye	бфре	зерн	ый п/а											
11							53	53A30			Зубофр	3 3	кох	1	1	1		1		19,56
12																				
13			0	035	4156 Зубозакругляющая	убоза	кругл	ТЕМП	ая											
14					38 1500 Зубозакругляющий	0 3y6	озакр	углян	ощий											
15							5F	5H582			Зубофр	р 3	хол	1	1	1		1		5,28
MK																				2

																FOCT 3.1118	-82	Форма 16	
Дубл.	Ц	$\ $			П														
Взам. Полл										Изм	Лист	No HORVM.	Поли	Лата	Изм	Лист	№ докум.	Поли	Лата
		1		-	-					4	1		ł.	-1					
							Н								H				
АП	∐ex N₁	y ₄ PM	Опер.		Код, наименование обору	геновани	re of op	удования	L	1			Обозн	Обозначение документа	докуме	нта			
			Код, 1	аименс	вание об	орудова	ания		CM	Проф.	ф. Р	yT	KP	коид	EH	ПО	[Кшт.	Тп.з.	Тшт.
K/M		Навъ	ленован	Наименование детали, сб. единицы или материала	, сб. еди	ницы илв	и матер	иала			Обозн	Обозначение, код	код		ОШП	I EB	EH	КИ	H.pacx.
0.1			040		4157 Зубошевинговальная	евинго	BAILE	ias											
02				38 15	38 1500 Зубошевинговальный	ошевин	нова.	льный											
03						5702B	2B			Зубофр	фр 4	кох	1	1	-				4,55
04																			
90			045	5130	Термообработка	обрабо	тка												
90																			
20			050		4132 Внутришлифовальная	лилиф	оваль	ная											
80				38 13	312 Вн	утриш	лифо	38 1312 Внутришлифовальный											
60						3K227	27			Шлиф	ф 3	кох	1	1	1		1		2,3
10																			
11			055	4132	4132 Внутришлифовальная	штиф	оваль	ная											
12				38 13	312 Вн	утриш	лифо	38 1312 Внутришлифовальный											
13						3K227	27			Шлиф	ф 3	кол	1	1	1		1		2,3
14																			
15	-	-	090		0270 Контрольная	ольная													
MK																			3